

# 原子過程実験-電子衝突

上智大学 理工学部  
田中 大

「核融合プラズマからプラズマプロセスまで-プラズマ中の原子過程」研究会  
平成18年8月24-25日 核融合科学研究所

# 話の流れ

プラズマと電子・原子・分子のかかわり

プラズマの初期過程 — 影の主役としての電子

電子と分子の衝突ダイナミクス

電子衝突実験の最近の話題

まとめ

# 物質の3態とプラズマ

物質の3態 — 気体・液体・固体

物質の第4の状態 — プラズマ

「自由に運動する正・負の荷電粒子が共存して電氣的に中性になっている状態。放電中の放電管内の気体、電離層、恒星の外気などはこの状態にある。」(広辞苑)

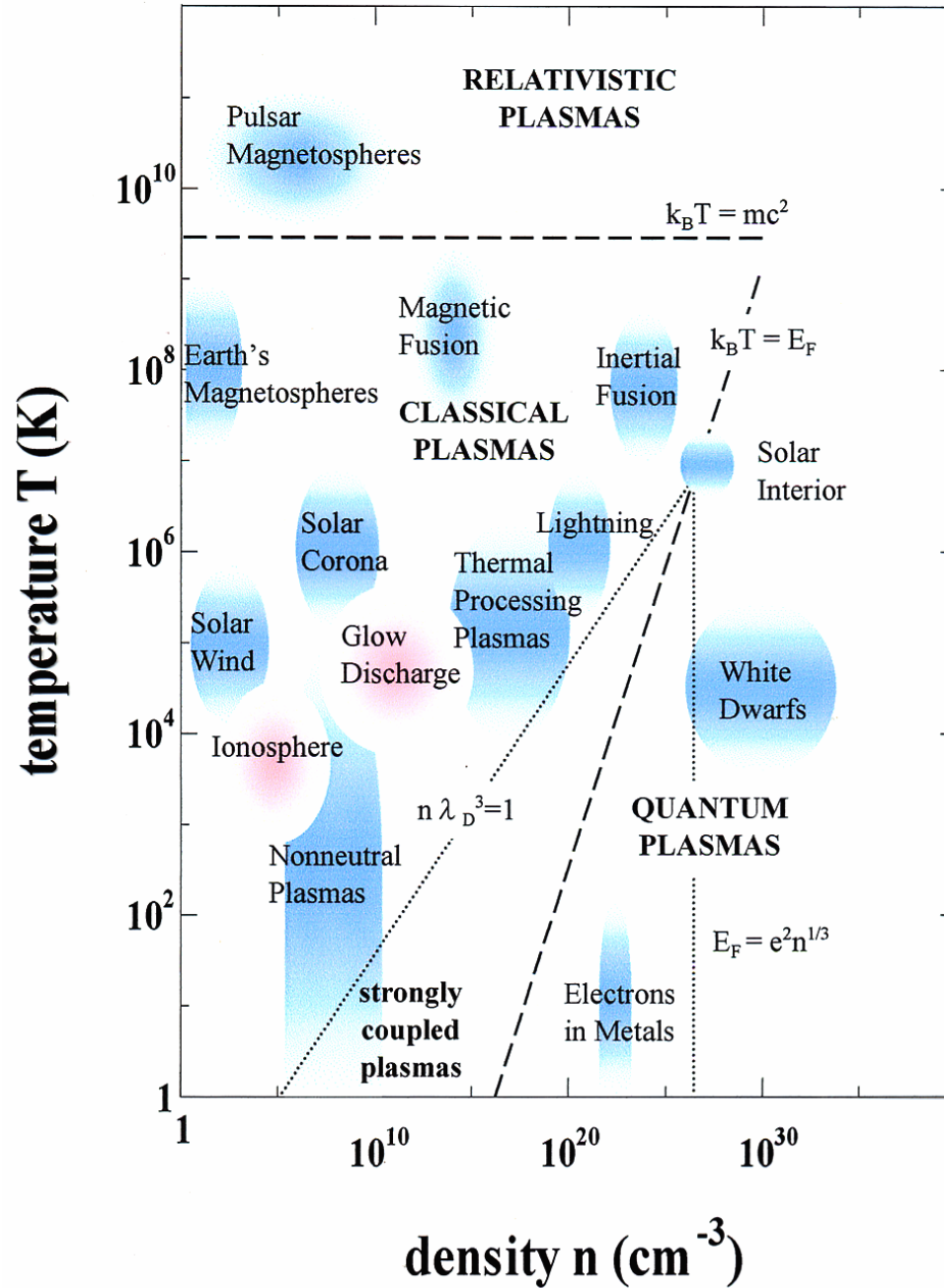
全宇宙の拡がい:  $\sim 10^{26} \text{ m}$

宇宙の物質の全質量:  $\sim 10^{53} \text{ Kg}$

99.99%以上 プラズマ状態

# プラズマ

## 自然界 実験室



# Campaign for the introduction of the ITER project in Japan **last year**

ITER

*Unfortunately not successful*

## ●炉心プラズマ

高い純度のプラズマを作るため、内部は宇宙空間レベルの超高真空にします。

## ●真空容器

ドーナツ状の約1000立方mのプラズマが真空容器内に作られます。

## ●ブランケット

核融合の熱を取り出す機能を果たします。

## ●ダイバータ

核融合で生じたヘリウム灰や壁からの不純物を排気して、プラズマの純度を保つ機器です。

## ●超伝導磁石

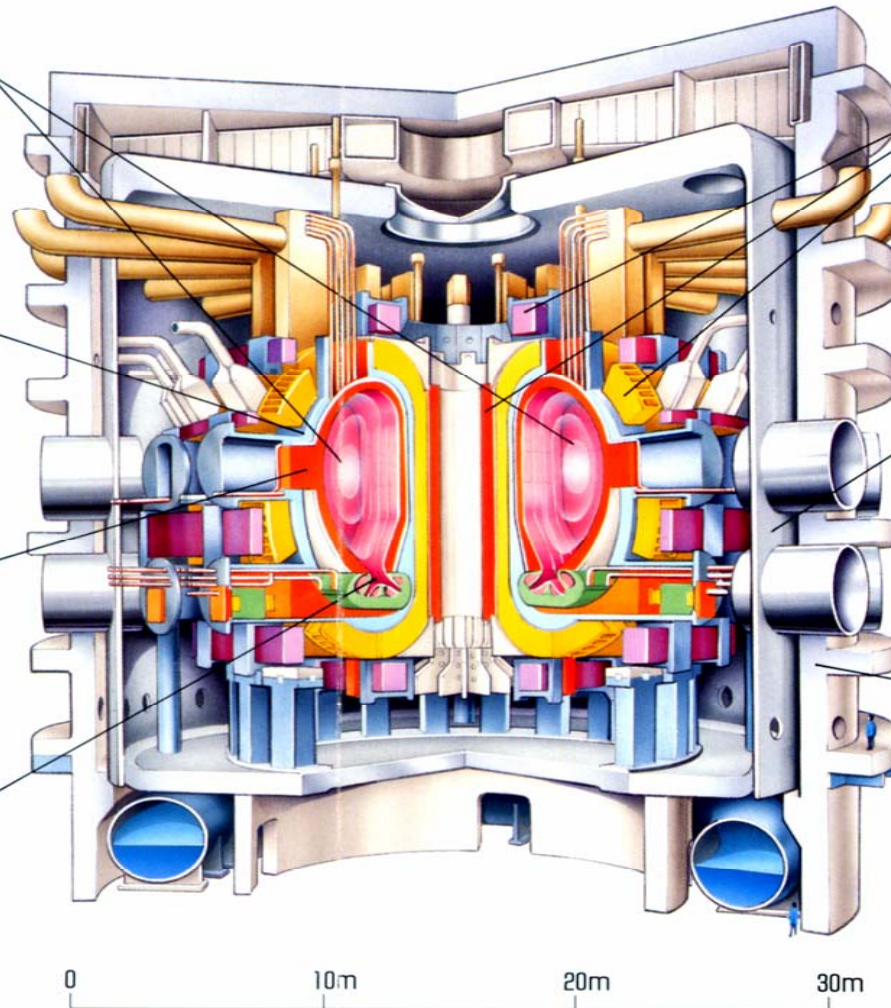
プラズマの生成と保持のために強力な磁場を発生します。

## ●クライオスタット

超伝導磁石を極低温に保つ容器で、魔法ピンの役割を果たしています。

## ●放射線しゃへい壁

核融合反応等で生じる放射線をしゃへいするための壁です。



# プロセスの特徴

- ・新しい反応の開拓
- ・反応の低温化
- ・傾斜化、積層化、多層化
- ・超薄膜化
- ・微細加工
- ・簡便なプロセス
- ・クリーンで環境にやさしいプロセス



**プラズマ化学反応制御**

# 低温プラズマと物質創製の意義

高度情報化時代



エレクトロニクス技術の進歩  
半導体集積回路(IC)



各種機器

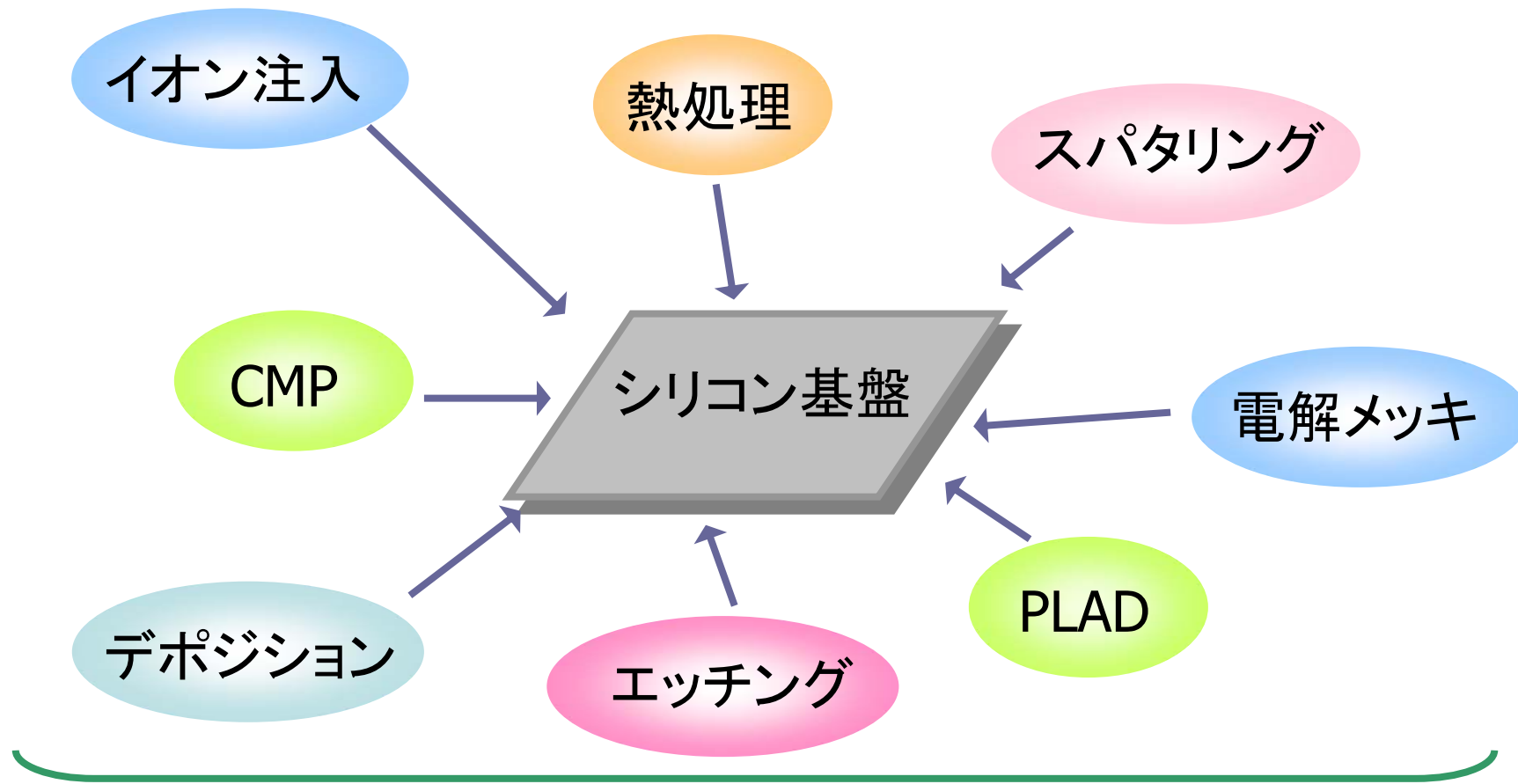
「インテリジェント化」

(情報を収集・加工し、ある目的に役立てる)  
人間固有の知的活動機能を機器に持たせる

**進化し続ける細胞！！**

IC : Integrated Circuits

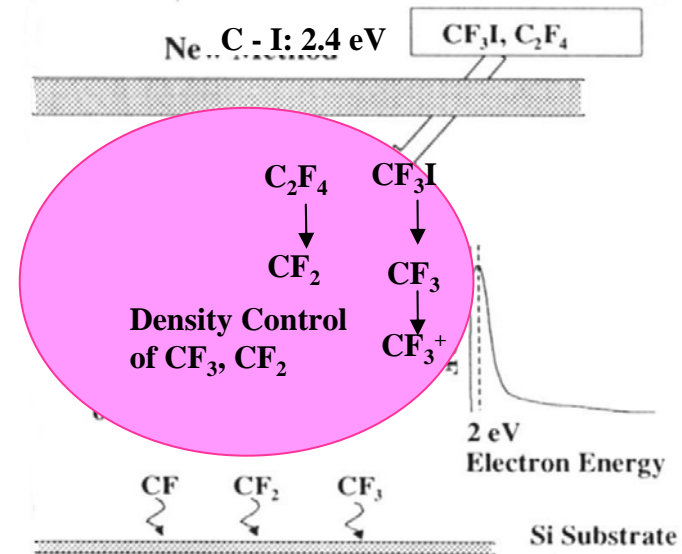
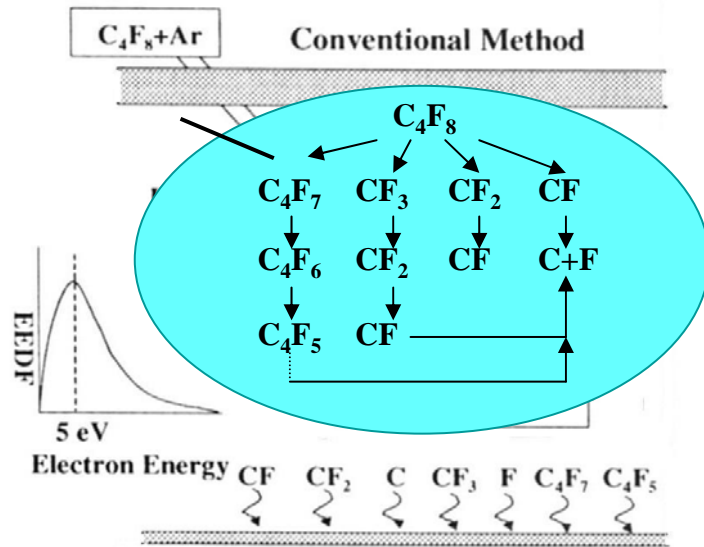
# 微細加工技術 ⇒ プラズマプロセス



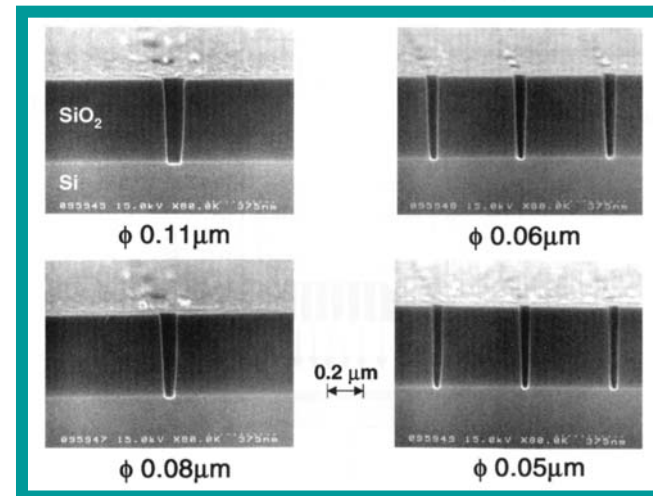
ドライプロセス  
↓  
低温プラズマ

CMP : Chemical Mechanical Polishing  
PLAD: Plasma Assisted Doping

# 分子とエッチング効率



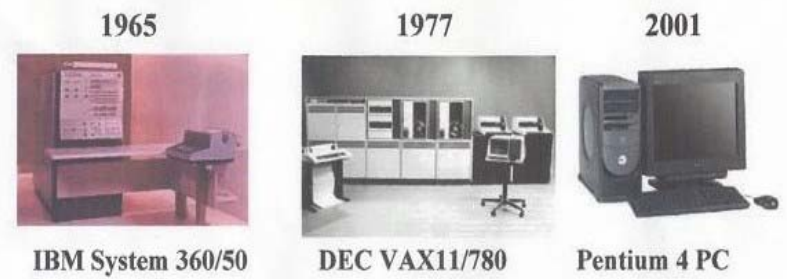
Concept of the new radical-injection method. The- $CF_2$  and  $CF_3$  radicals are selectively generated from  $CF_3I$  and  $C_2F_4$  gases in the plasma.



# IC の変遷とサイズの比較

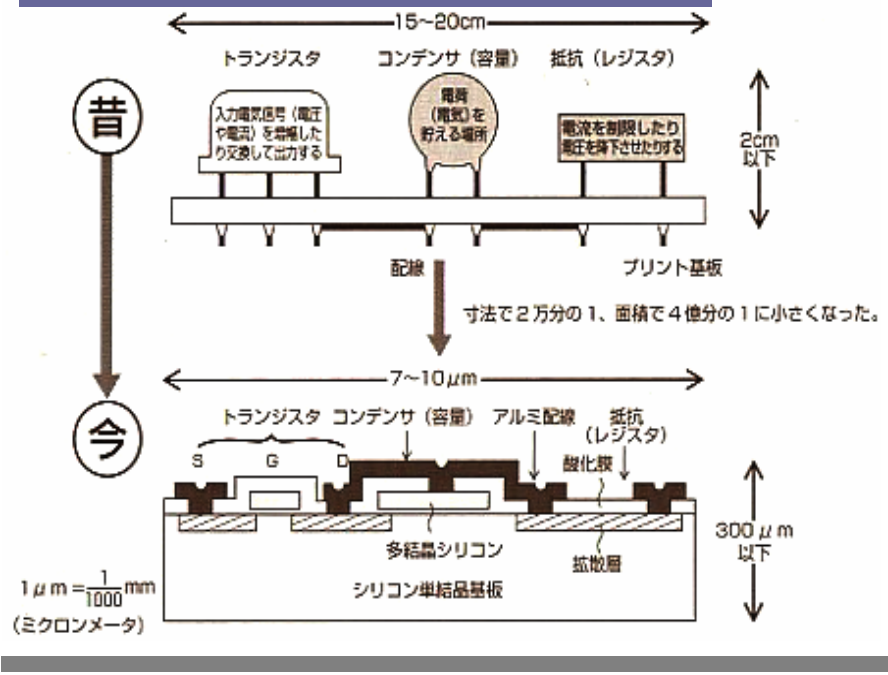
**集積回路(IC)**

- SSI : 100個未満
- MSI : 100~1000個
- LSI : 1000個以上
- VLSI: 10万個以上
- ULSI: 1000万個以上

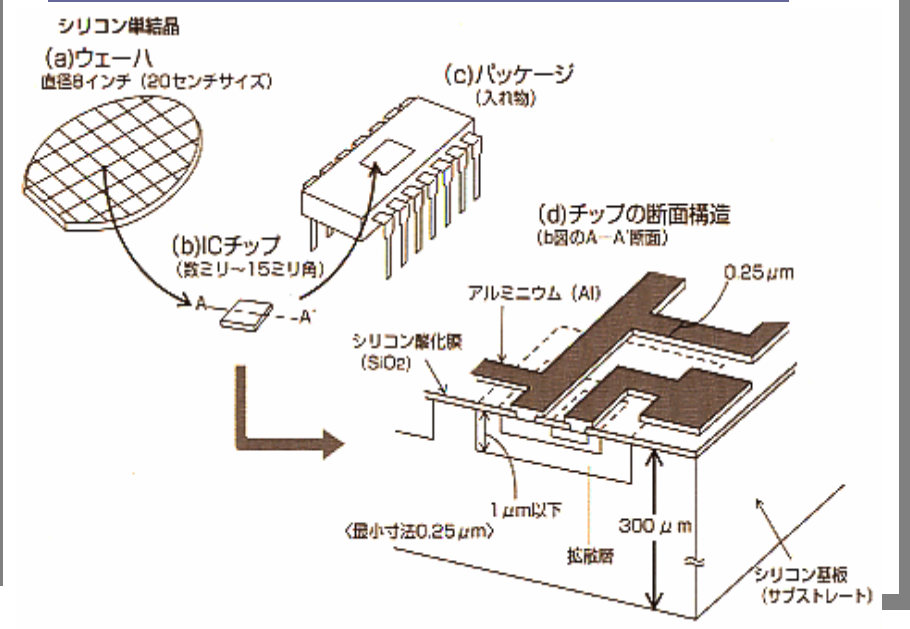


	1965	1977	2001
計算速度(比)	0.15MIPS(1)	1MIPS(6.7)	3792MIPS(25,280)
記憶容量(比)	64KB(1)	1MB(16)	256MB(4,096)
価格	3.6億円	7200万円	250,000円
価格性能比	1倍	33倍	3600万倍以上!

## 集積回路 (IC) の変換と大きさの比較



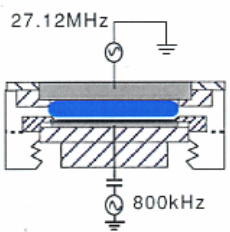
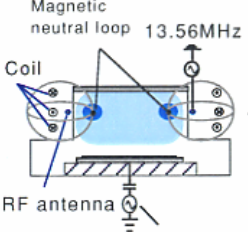
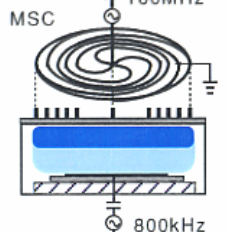
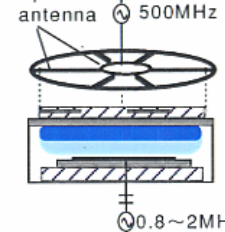
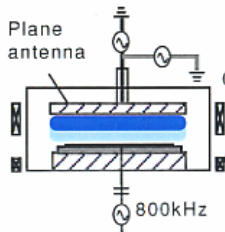
## 「ウェーハ → チップ → パッケージ」の関係

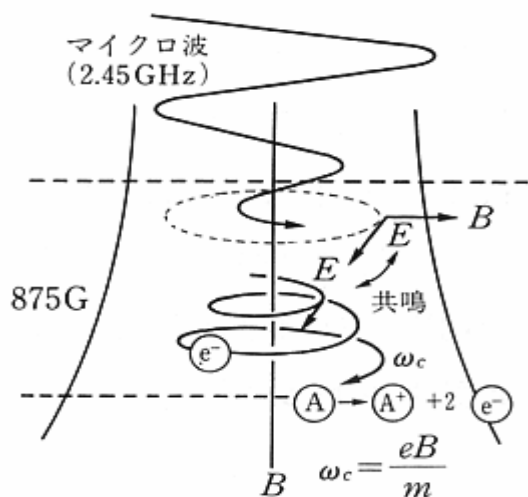




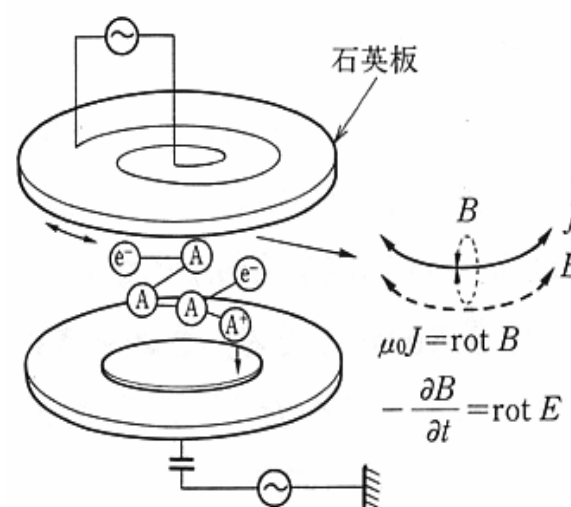
# プラズマの発生機構

## Plasma Sources & Measuring Systems (electron, radical, ion)

IEM	NLD	VHF	UHF	S-ECR
 <p>27.12MHz 800kHz</p> <p>Dual-frequency capacitively-coupled plasma</p>	 <p>Magnetic neutral loop 13.56MHz Coil RF antenna 0.8~2.13.56MHz</p> <p>Neutral loop discharge plasma</p>	 <p>MSC 100MHz 800kHz</p> <p>VHF Inductively-coupled plasma</p>	 <p>Spoke antenna 500MHz 0.8~2MHz</p> <p>UHF non-magnetized plasma with spoke antenna</p>	 <p>500, 915MHz Plane antenna Coil 800kHz</p> <p>UHF electron cyclotron resonance plasma with planar antenna</p>



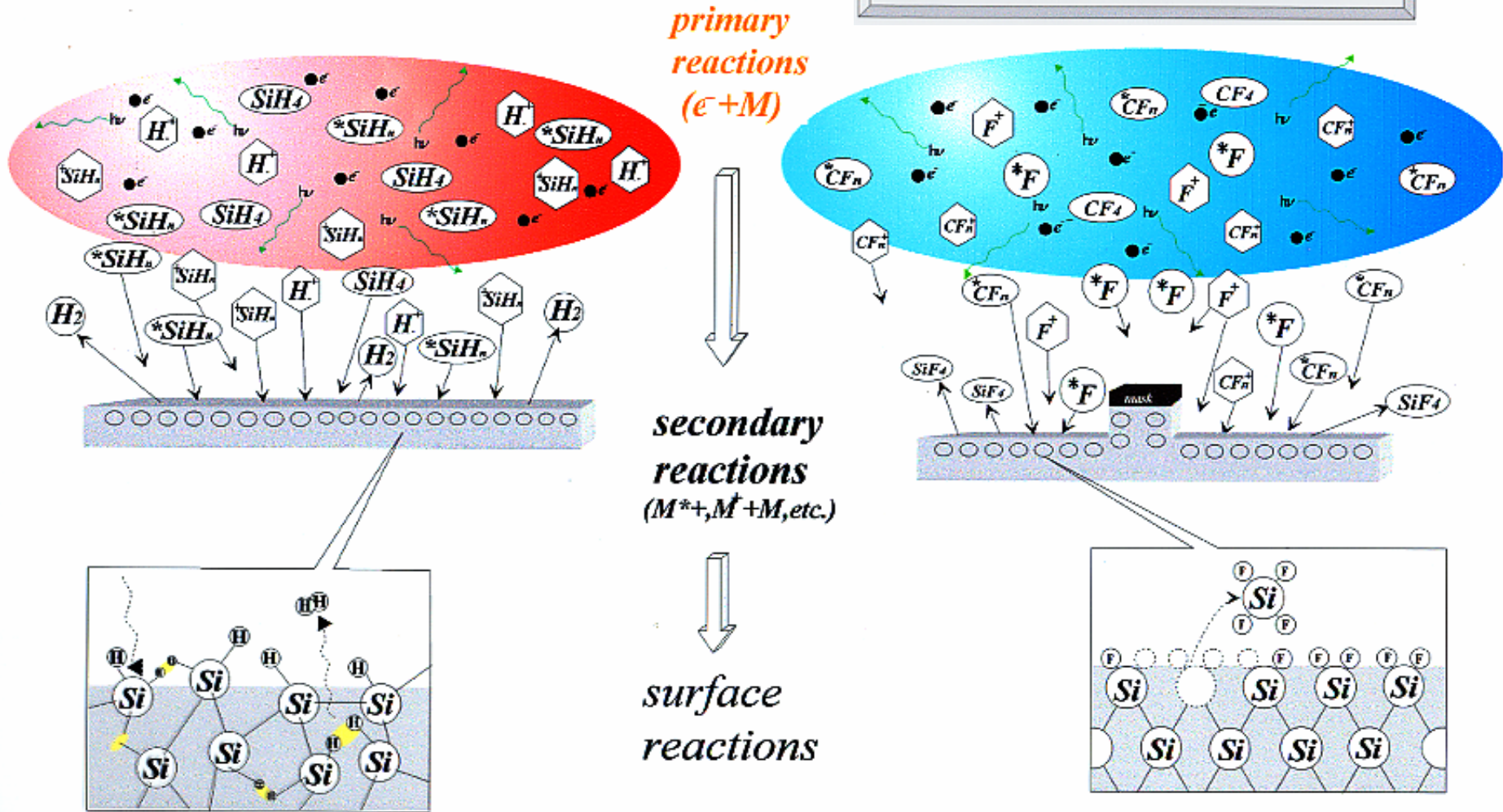
ECR : 電子サイクロトロン共鳴



ICP : 誘導結合プラズマ

# プラズマ中の衝突反応過程

## Reaction Mechanisms



# プラズマ中の衝突反応過程

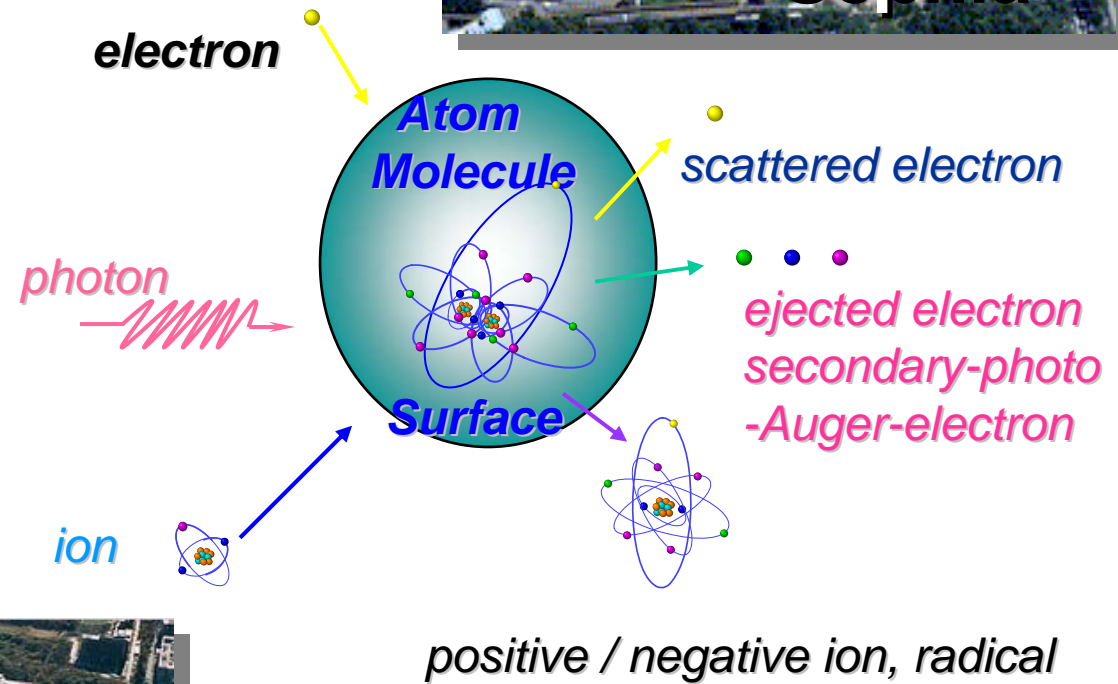
## 弱電離プラズマ中の主な衝突反応素過程

励起	$A + e \longrightarrow A^* + e$	(電子衝突)
電離	$A + e \longrightarrow A^+ + 2e$ $A^m + e \longrightarrow A^+ + 2e$ $A + B^m \longrightarrow A^+ + B + e$ $A^m + A^m \longrightarrow A^+ + A + e$	(直接電離) (累積電離) (ペニング電離) (準安定原子同士による) (衝突電離)
電子付着	$B + e \longrightarrow B^-$	
解離	$AB + e \longrightarrow A + B + e$ $(AB)^+ + e \longrightarrow A^+ + B + e$	(イオン解離)
再結合	$(AB)^+ + e \longrightarrow AB + h\nu$ $A^+ + e \longrightarrow A + h\nu$ $(AB)^+ + e \longrightarrow A^* + B^*$ $A^+ + B^- \longrightarrow A + B$	(放射再結合) (解離再結合) (イオン再結合)
電荷交換	$A + B^+ \longrightarrow A^+ + B$	

A, B : 中性原子      A\*, B\* : 励起原子      A<sup>+</sup> : 正イオン      e : 電子  
 AB : 中性分子      A<sup>m</sup> : 準安定原子      B<sup>-</sup> : 負イオン      hν : 光子  
 (AB)<sup>+</sup> : 分子イオン

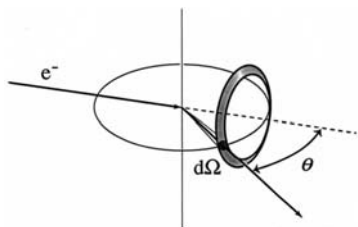
**電子衝突がプラズマ発生のトリガー役！**

# 我々の研究室



# 電子衝突断面積と測定法

## Definition of the various Cross Section



### • Differential Cross Section for channel “n”

$$\sigma_n(E_0, \Omega) = \frac{dq_n(E_0, \Omega)}{d\Omega} = \frac{k_f}{k_i} |f_n(E_0, \Omega)|^2$$

### • Integral and Momentum transfer Cross Section

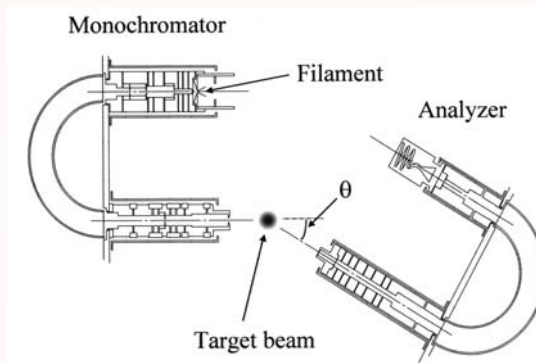
$$q_M(E_0) = \int \int \sigma_0(E_0, \Omega) (1 - \cos \theta) \sin \theta d\theta d\varphi$$

$$q_n(E_0) = \int \int \sigma_n(E_0, \Omega) \sin \theta d\theta d\varphi$$

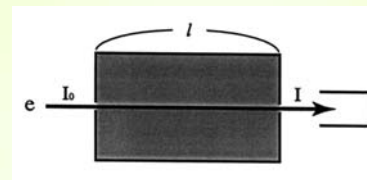
### • Total Cross Section

$$Q^r(E_0) = \sum_n q_n(E_0)$$

## Crossed beam method



## Transmission experiment



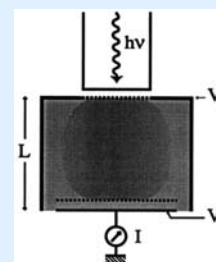
$$I = I_0 e^{-Q^r N l}$$

$$Q^r = \sum_n q_n \quad (n \neq m)$$

※Upper limit of cross sections

## Boltzmann equation

$$\partial f / \partial t + v \cdot \nabla_x f + (F/m) \cdot \nabla_v f = [\partial f / \partial t]_c$$



## Swarm experiment

# これまでの測定例 *investigated at Sophia University*

CH<sub>4</sub>, C<sub>2</sub>H<sub>6</sub>, C<sub>3</sub>H<sub>8</sub>, C<sub>2</sub>H<sub>4</sub>, C<sub>3</sub>H<sub>4</sub>, C<sub>3</sub>H<sub>6</sub>  
CF<sub>4</sub>, C<sub>2</sub>F<sub>6</sub>, C<sub>3</sub>F<sub>8</sub>, C<sub>2</sub>F<sub>4</sub>, c-C<sub>4</sub>F<sub>8</sub>, C<sub>6</sub>F<sub>6</sub>  
CF<sub>3</sub>H, CF<sub>2</sub>H<sub>2</sub>, CFH<sub>3</sub>  
CF<sub>3</sub>Cl, CF<sub>3</sub>Br, CF<sub>3</sub>I  
CF<sub>2</sub>Cl<sub>2</sub>, CFCl<sub>3</sub>  
SiH<sub>4</sub>, Si<sub>2</sub>H<sub>6</sub>, SiF<sub>4</sub>, GeH<sub>4</sub>  
NF<sub>3</sub>, C<sub>60</sub>  
N<sub>2</sub>O, CO<sub>2</sub>, COS, CS<sub>2</sub>, XeF<sub>2</sub>, HCN, HCl  
H<sub>2</sub>CO  
H<sub>2</sub>, N<sub>2</sub>, CO, NO

- absolute elastic DCS
- resonant vibrational excitation
- electronic and rotational excitations
- dissociative attachment
- neutral dissociation

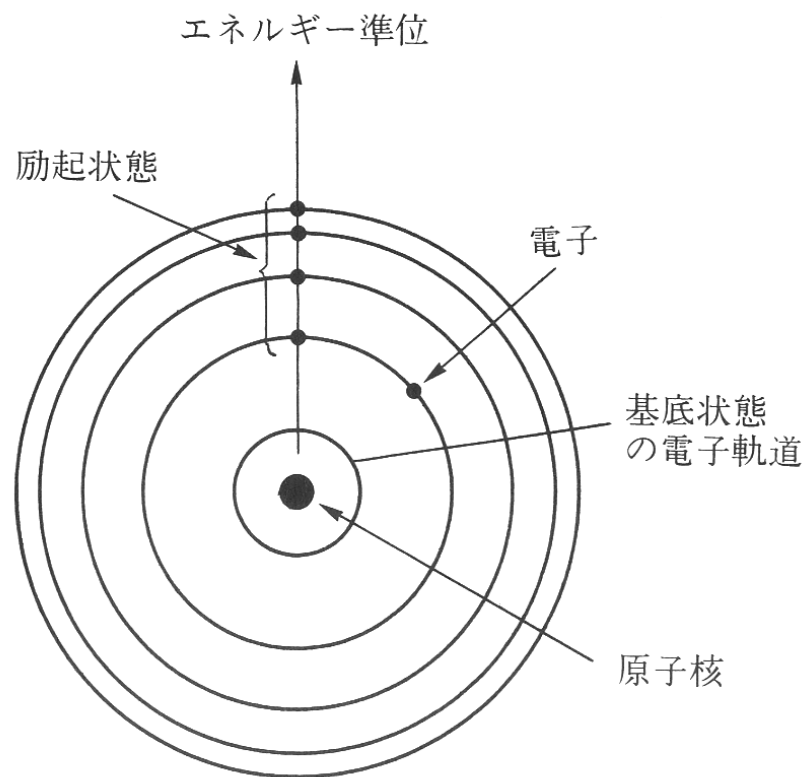
## Synchrotron Radiation Experiment:

SF<sub>6</sub>, PH<sub>5</sub>, PH<sub>3</sub>  
BCl<sub>3</sub>, BF<sub>3</sub>, H<sub>2</sub>O, CO<sub>2</sub>, H<sub>2</sub>CO

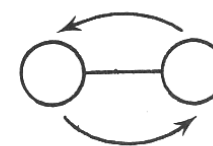
- ◆ photoelectron from core orbital via shape resonance
- ◆ resonant Auger emission processes

# 電子・分子衝突現象の基礎

## 原子・分子の励起状態



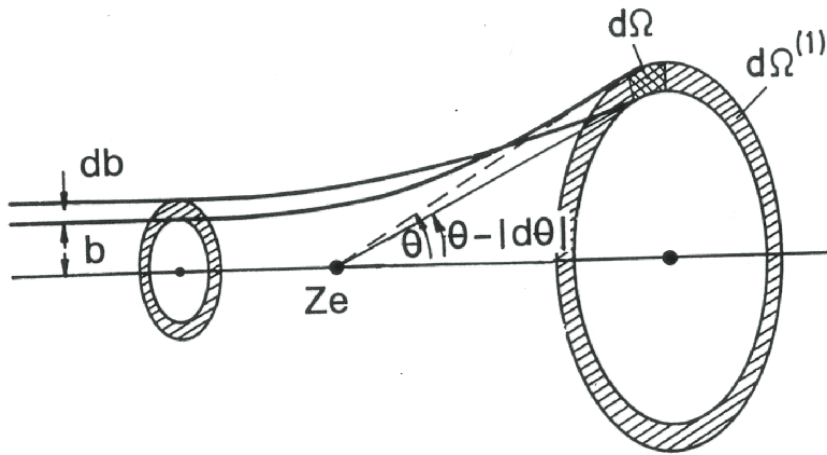
(a) 内部励起状態



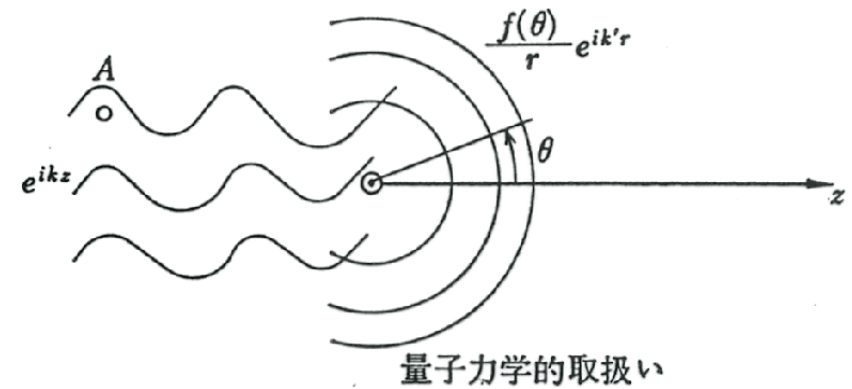
(b) 分子の状態

# 電子・分子衝突現象の基礎

## 衝突断面積の定義



## 電子散乱の様式



$$\lambda = \sqrt{\frac{150}{V}}$$

$$V = 1\text{eV} \rightarrow \sim 12\text{\AA}$$

# 電子・分子衝突現象の基礎

## 部分波近似

$$\Psi \rightarrow e^{ikz} + \frac{f(\theta)}{r} e^{ik'r}$$

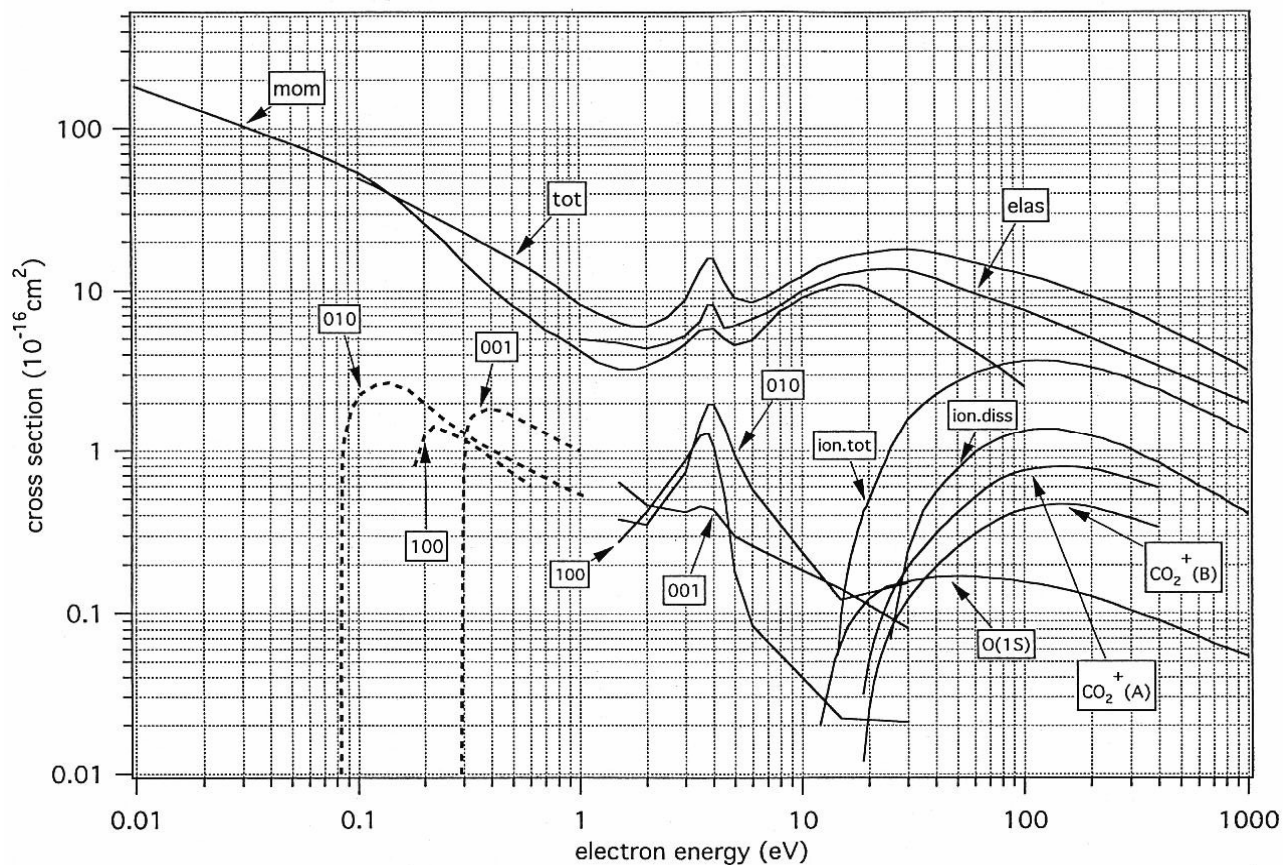
$$f(\theta) = \frac{1}{2ik} \sum_l (2l+1)(e^{2i\eta_l} - 1) p_l(\cos\theta)$$

$$\frac{d\sigma}{d\Omega} = |f(\theta)|^2$$

$$\sigma = 2\pi \int_0^\pi |f(\theta)|^2 \sin\theta d\theta$$

# 電子衝突エネルギーと衝突断面積の全様

## CO<sub>2</sub>の電子衝突断面積



# 分子の電子衝突励起断面積実験例の紹介

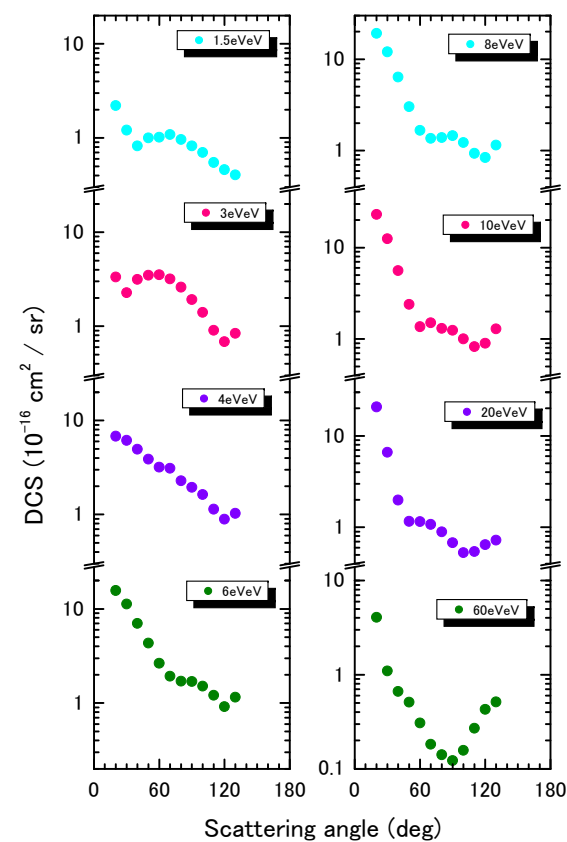
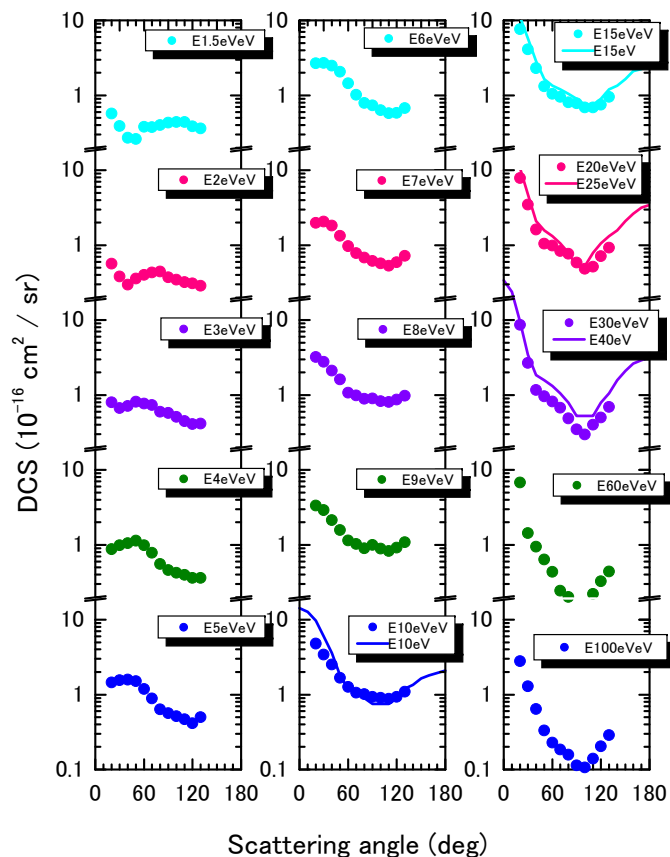
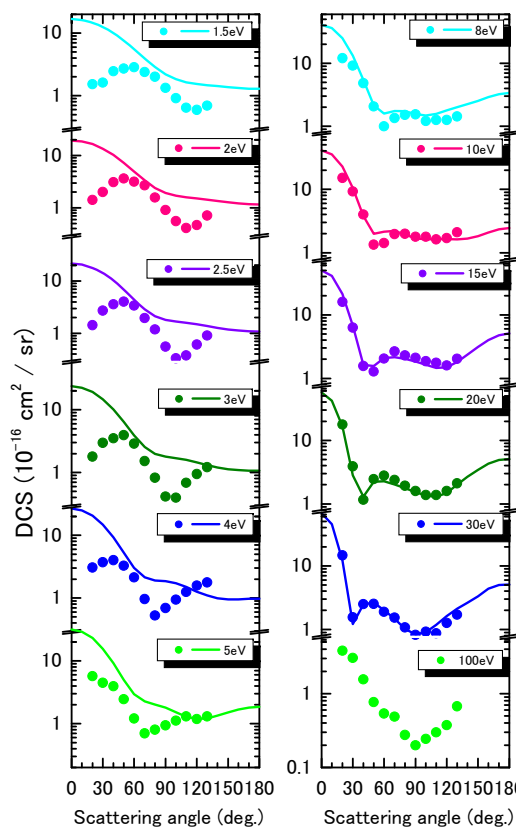
弾性散乱断面積の散乱角度依存性

振動励起断面積と共鳴状態

電子付着と負イオン生成

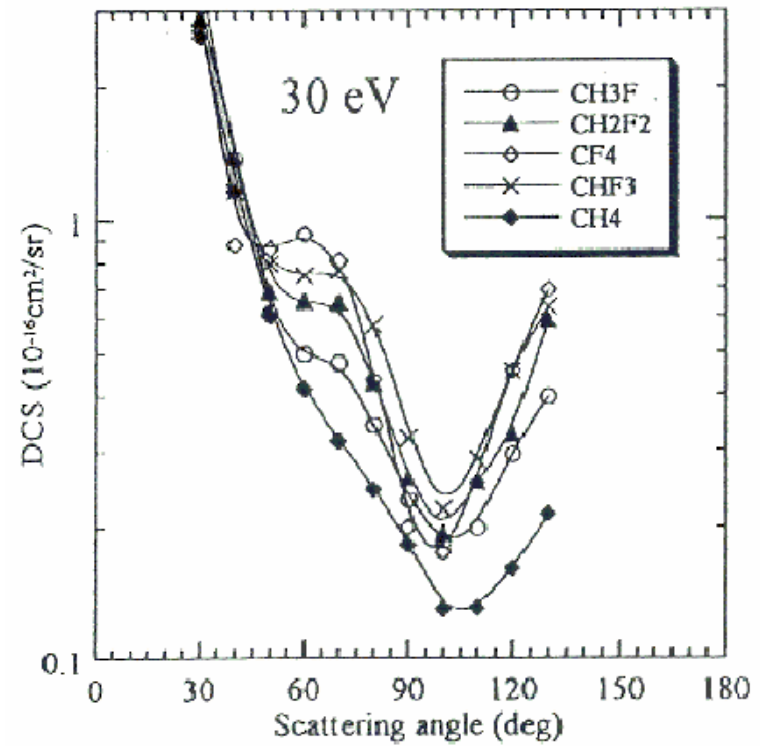
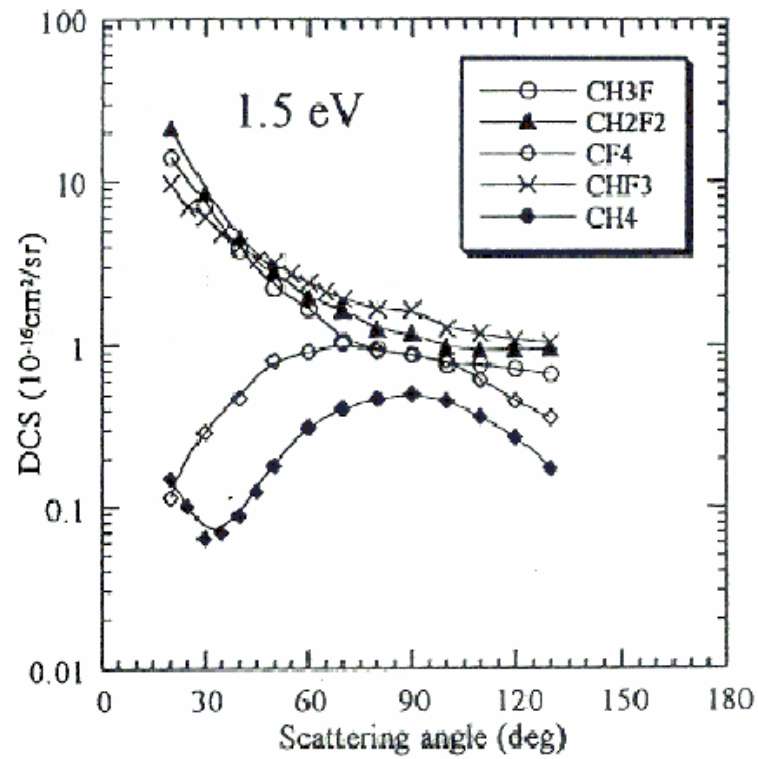
電子励起状態と分子の解離

# 弾性散乱の散乱角度依存性



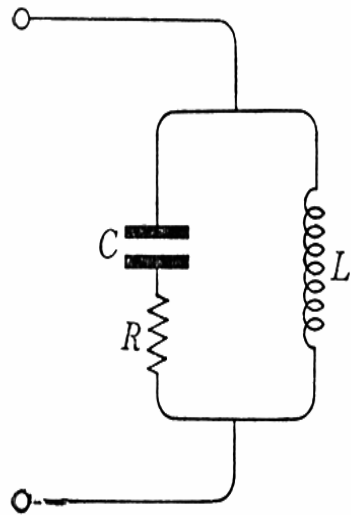
DCS gives momentum and integral cross section at each impact energy.

# 双極子モーメントによる効果



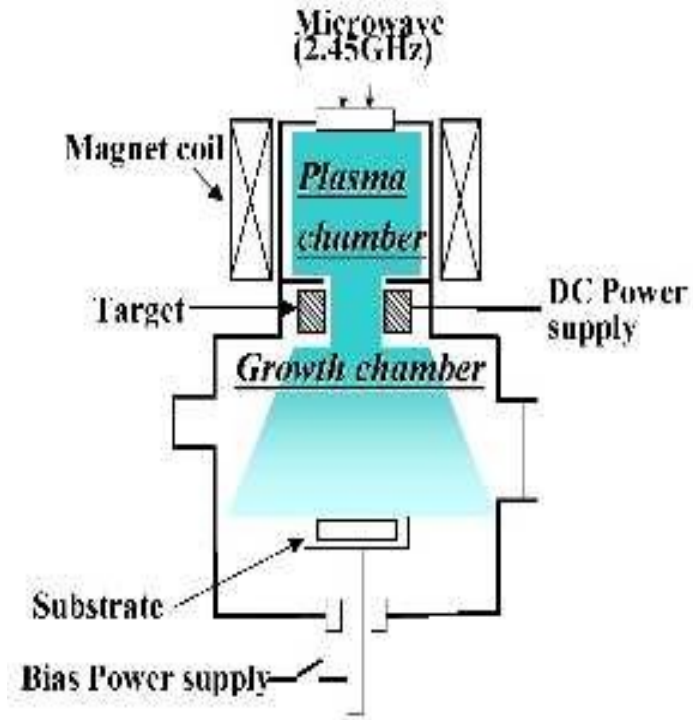
# 共鳴狀態

$$U \propto \frac{1}{(\omega - \omega_R)^2 + (\gamma/2)^2}$$



*LCR resonant circuit*

## *Electron Cyclotron Resonance*



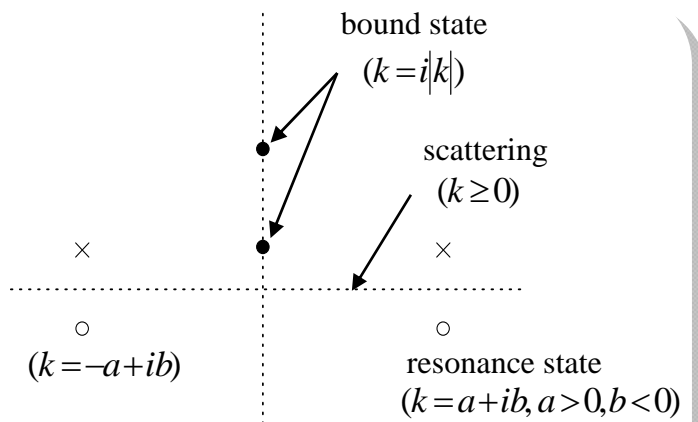
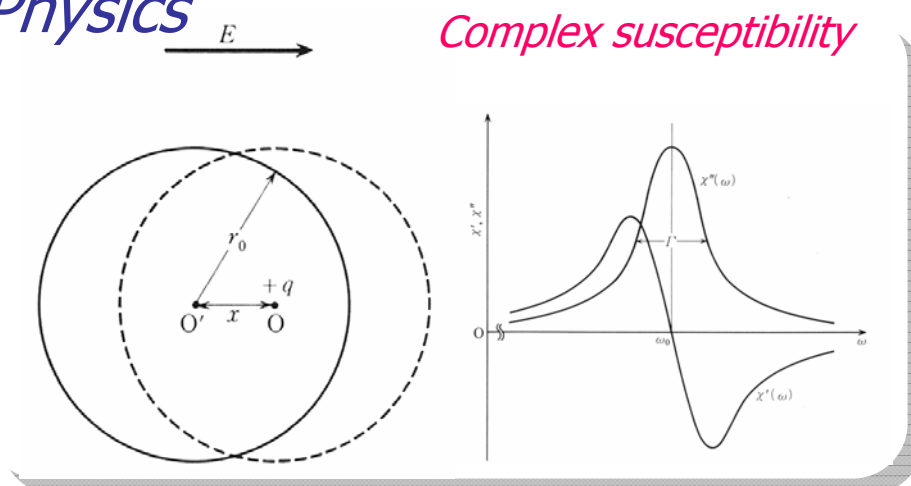
$$\omega_R = \frac{1}{2} \left\{ \omega_{ce} + \left( \omega_{ce}^2 + 4\omega_{pe}^2 \right)^{1/2} \right\}$$

# ミクロの世界に現れる共鳴状態

showing up everywhere in Physics

$$\pi + N \rightarrow \Delta \rightarrow \pi + N$$

$\Delta$  resonance



Resonance Scattering described on Complex K- plane

Photon:

$$\chi = \chi' - j\chi'' \quad P = \epsilon_0 \chi E$$

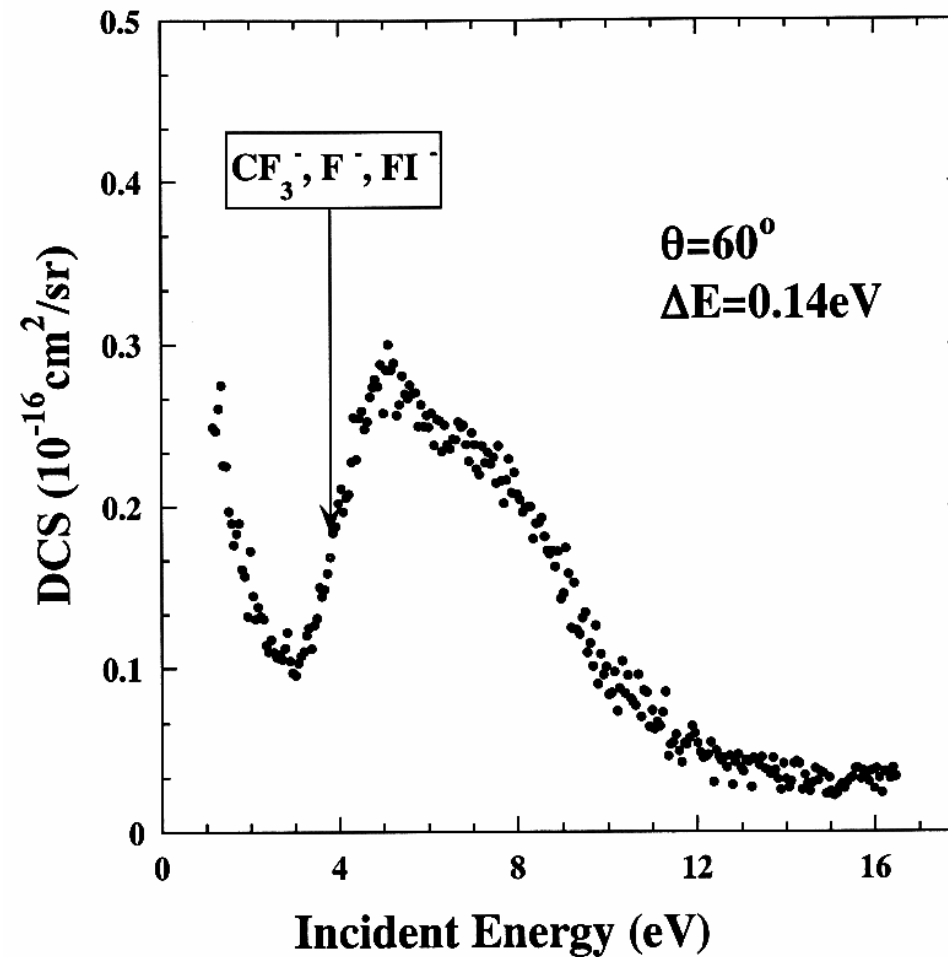
$$\chi'' \approx \frac{q^2 N}{m \epsilon_0 \omega_0} \frac{\Gamma/2}{(\omega_0^2 - \omega^2) + (\Gamma/2)^2}$$

Electron:

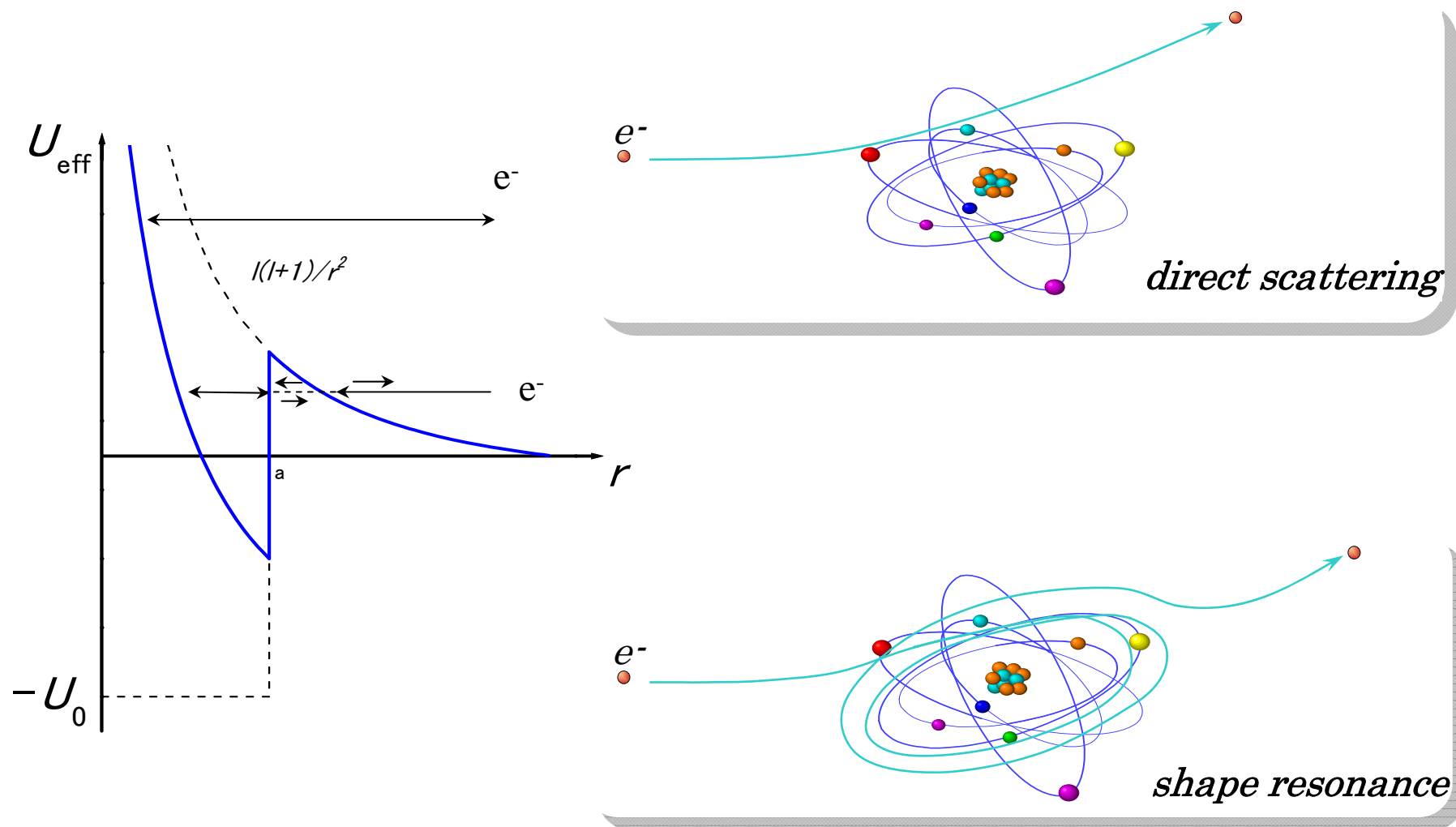
$$\sigma(E) \cong \frac{4\pi(2l+1)}{2mE/\hbar^2} \frac{\Gamma^2/4}{(E - E_0)^2 + \Gamma^2/4}$$

$(E \cong E_0, \Gamma \ll E_0)$  Breit-Wigner eq.

# CF<sub>3</sub>I 分子の振動励起と共鳴状態

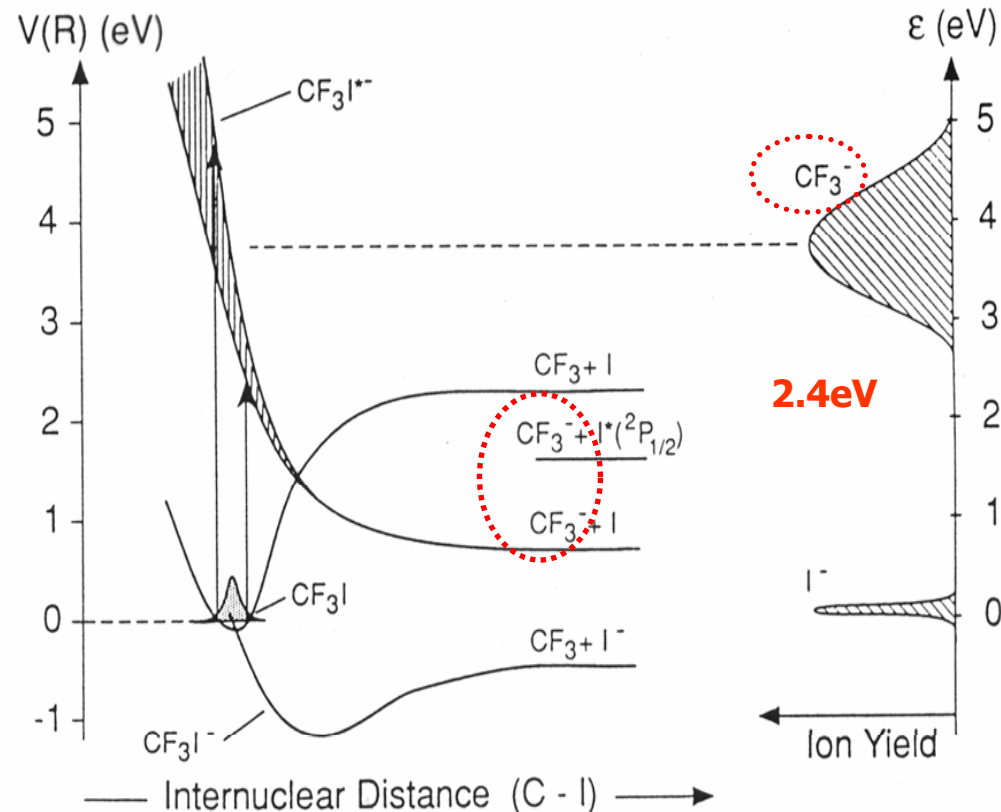
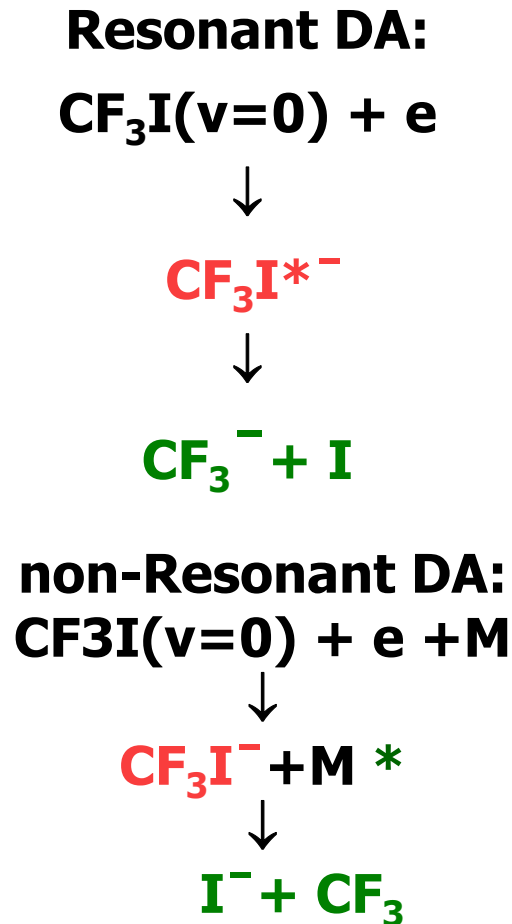


# 形状共鳴の生成機構



# 負イオン生成と共鳴状態

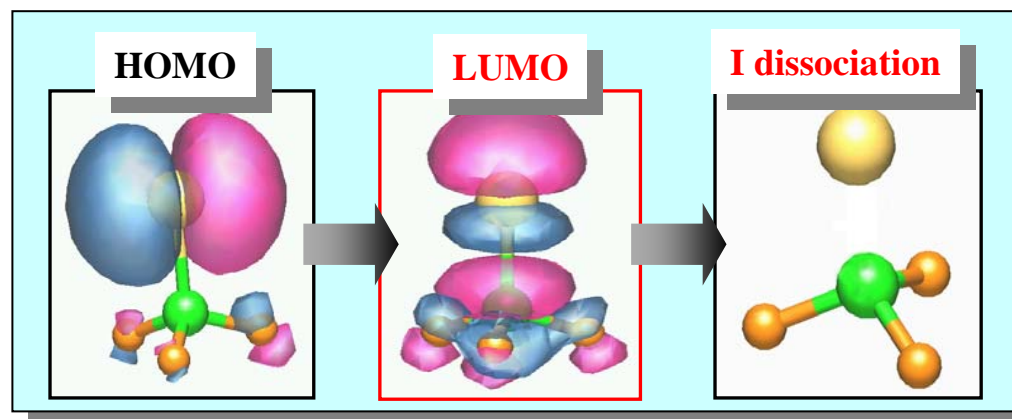
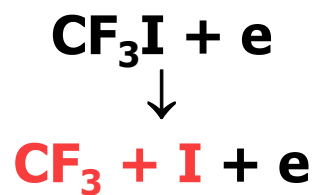
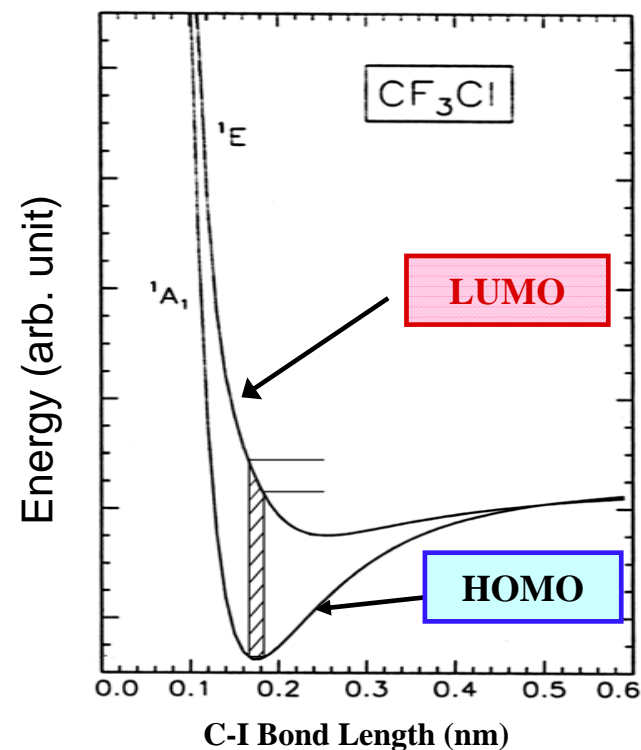
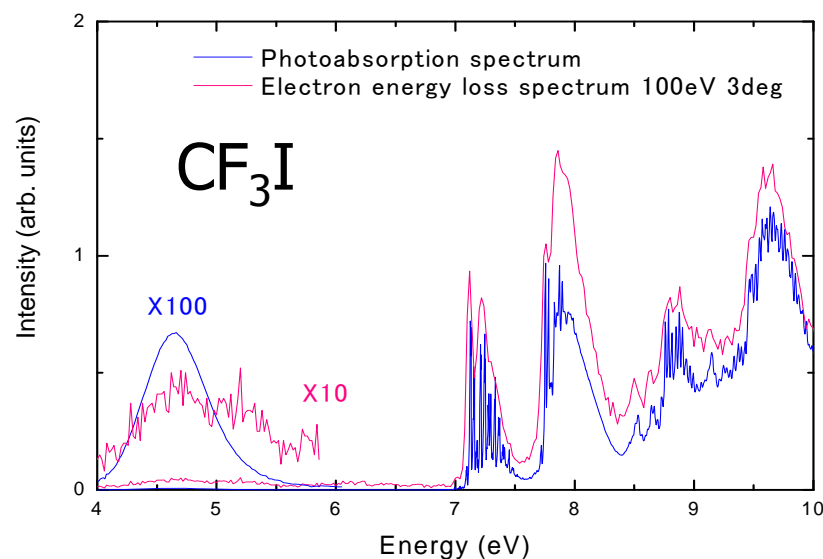
through Dissociative attachment via repulsive state



Schematic potential energy curves for the electronic states of  $\text{CF}_3\text{I}$  and  $\text{CF}_3\text{I}^-$  relevant in electron attachment.

from O. Illenberger

# CF<sub>3</sub>I分子の電子励起状態と解離過程



プラズマ・プロセッシング

環境問題

共生と調和

原子・分子過程科学

# グリーンケミストリー

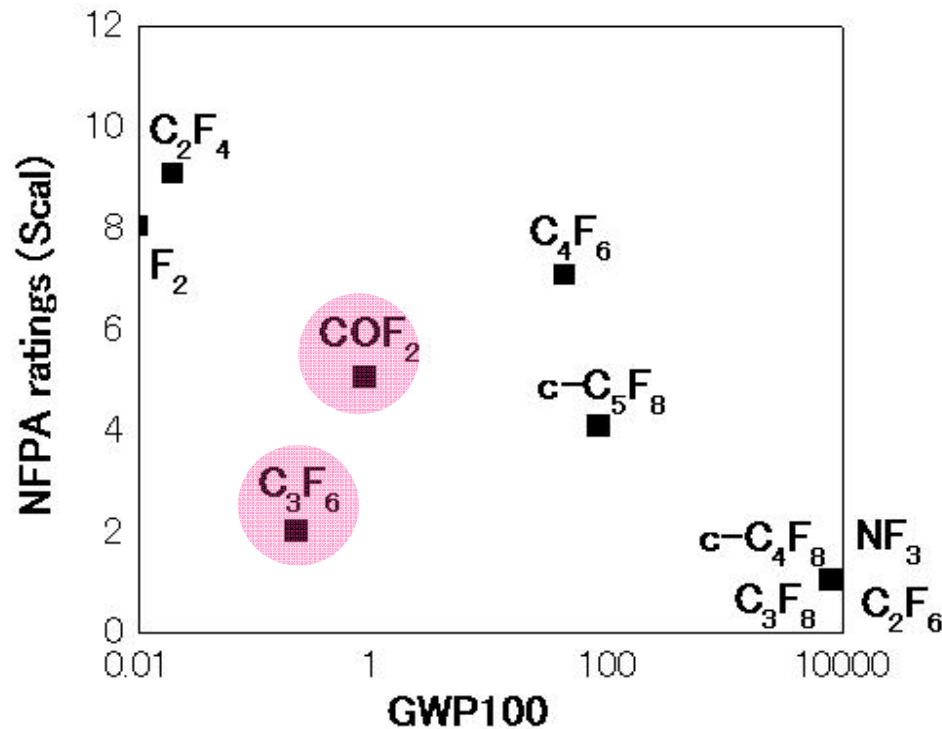
In parallel with new trends in the processing, **more ecologically friendly processing technology** is demanded:

1. High-performance etching of  $\text{SiO}_2$  at high efficiency with *small amounts of PFC* gases
2. **Etching alternative gases** for  $\text{SiO}_2$  with *low GWP* values
3. **Alternative cleaning gases** for electronic devices with *low GWP* values

*Along this direction,  $\text{COF}_2$  and  $\text{C}_3\text{F}_6$  are developed*

# 代替ガス

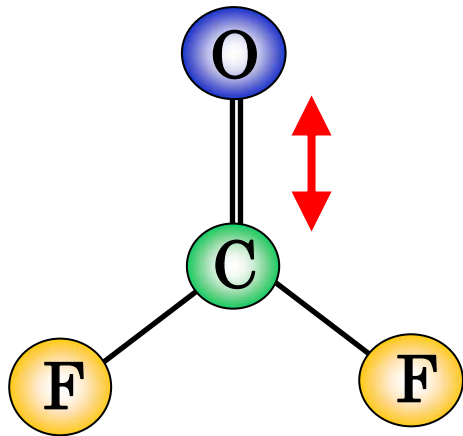
*compared with feed gases commonly used*



GWP: Global Warming Potential

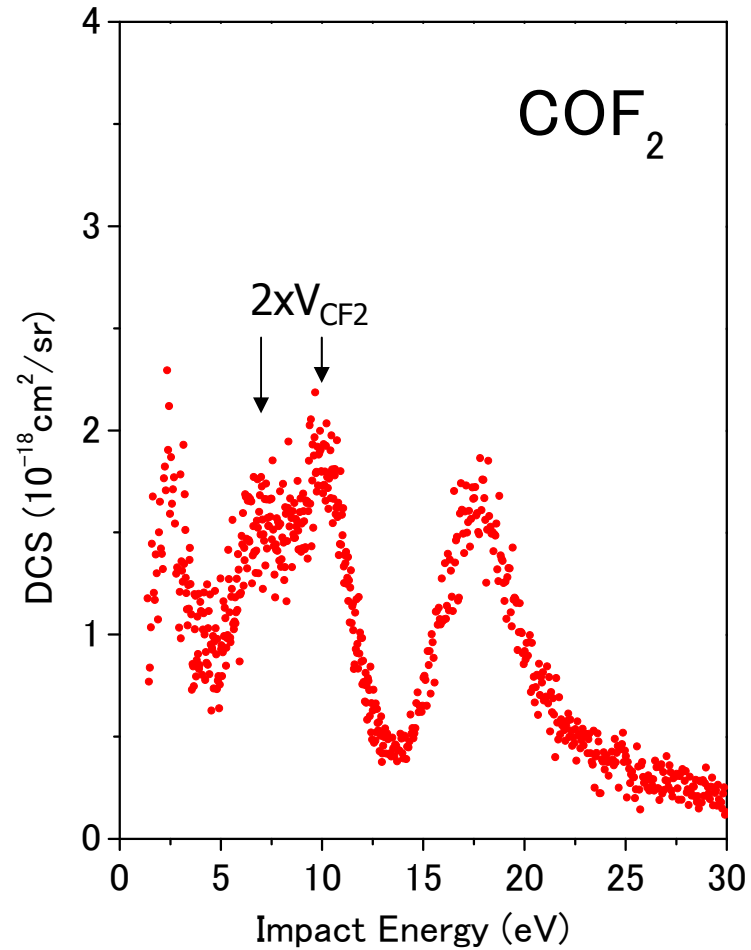
NFPA: National Fire Protection Association

# COF<sub>2</sub> 振動励起と共鳴状態

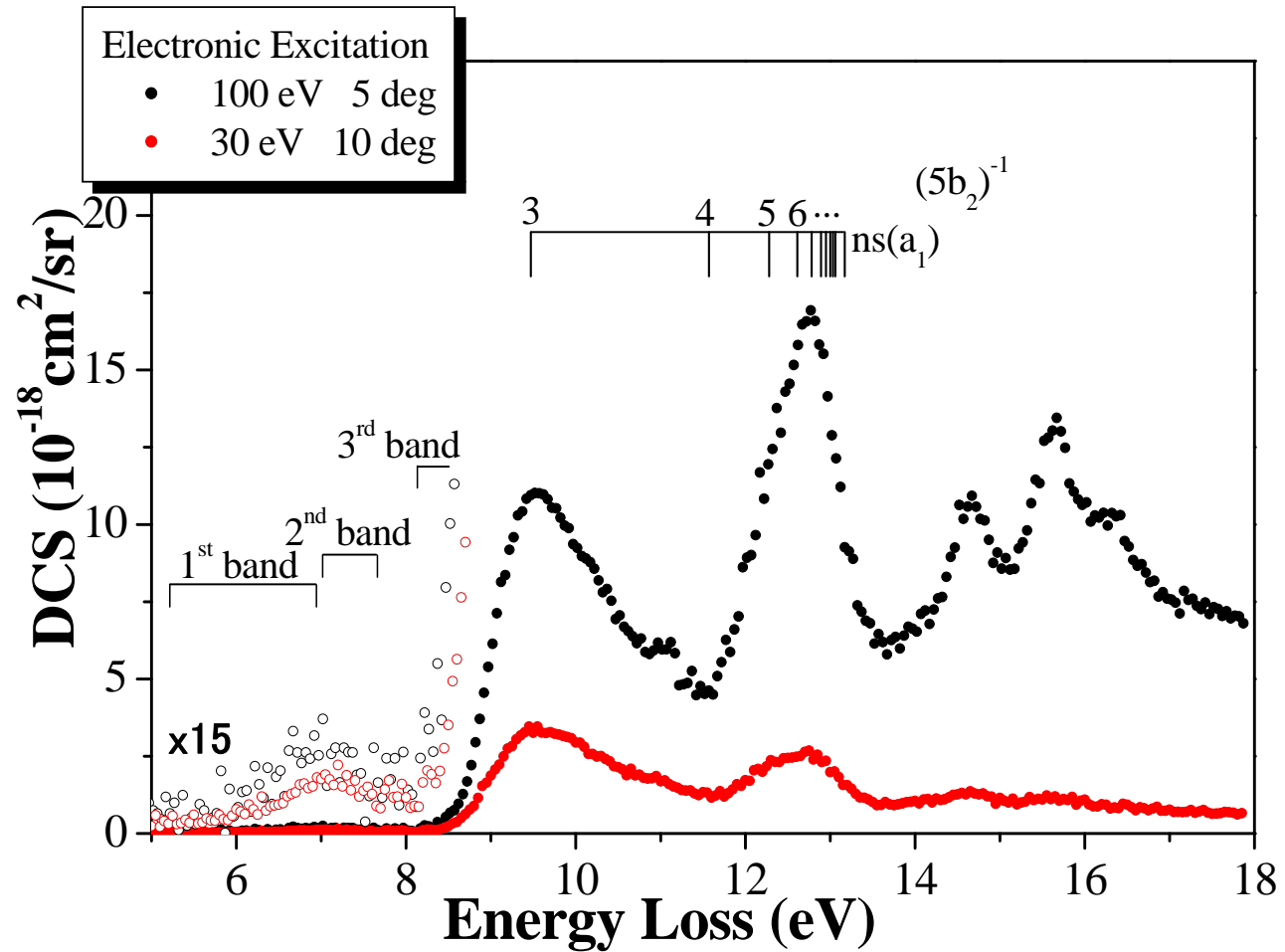


No negative ion data available

Resonant DA?



# COF<sub>2</sub> 電子励起状態と解離過程



**ITER** (*International Thermonuclear Reactor*)  
*agreed in last June to be built in Cadarache,  
France*

Data Needs for Atomic & Molecular Processes  
wall interaction near Divertor:

1. Carbon impurities (H-C molecules) produced  
by physical and chemical sputtering:



2. Vibrationally excited (Hot) Molecules:

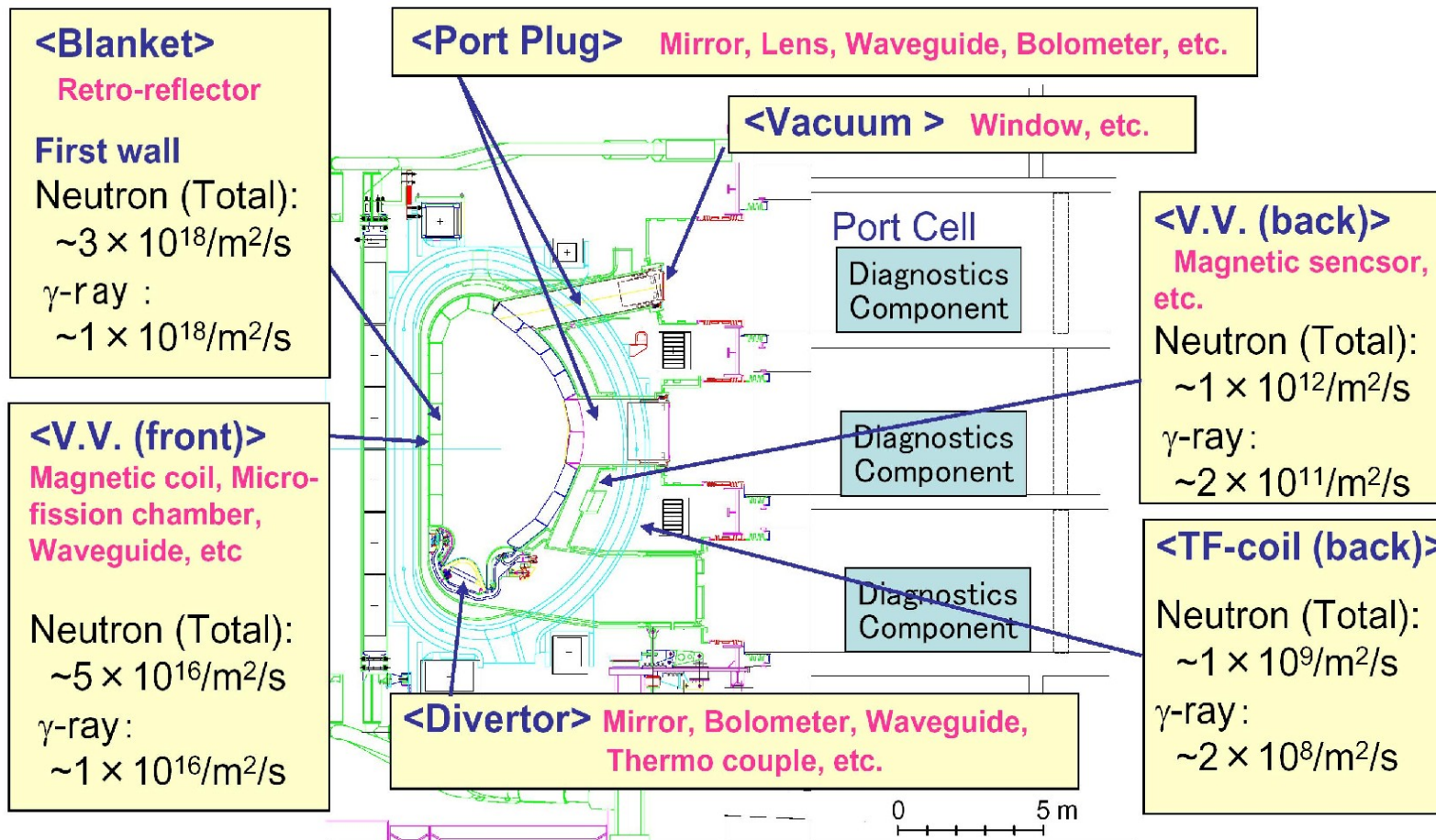




The Way to Fusion Energy

# Environmental Condition

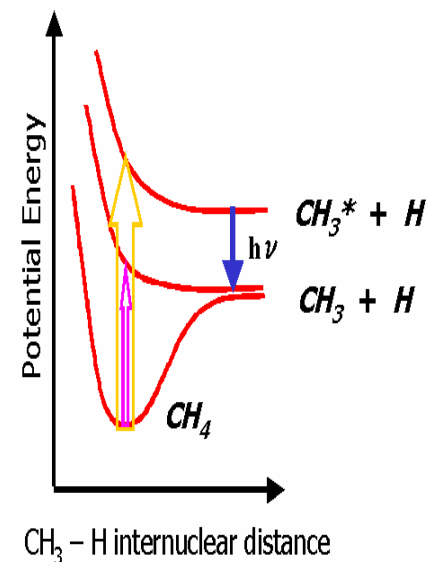
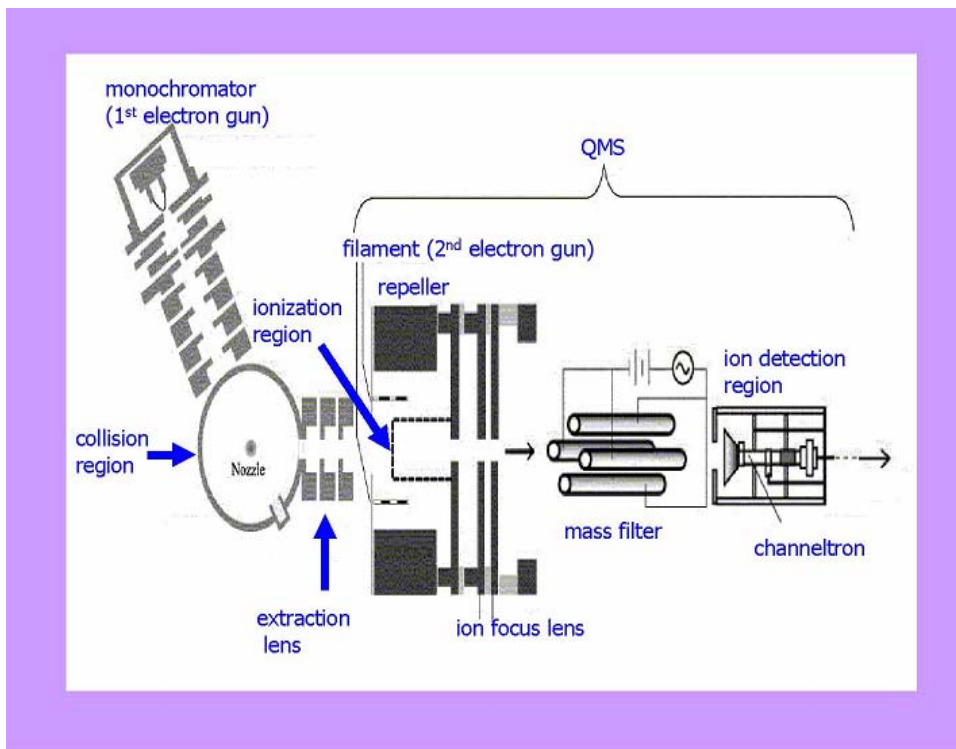
- Diagnostics components, such as mirrors, magnetic coils etc, mounted close to the plasma will experience **higher levels of radiation due to neutron, gamma ray and/or particle irradiations** than in present devices.



# 炭化水素分子 ダイバーター近傍でのインプュリティー

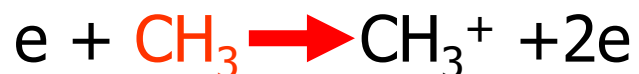
non-emissive

Neutral Radical Detection from CH<sub>4</sub>

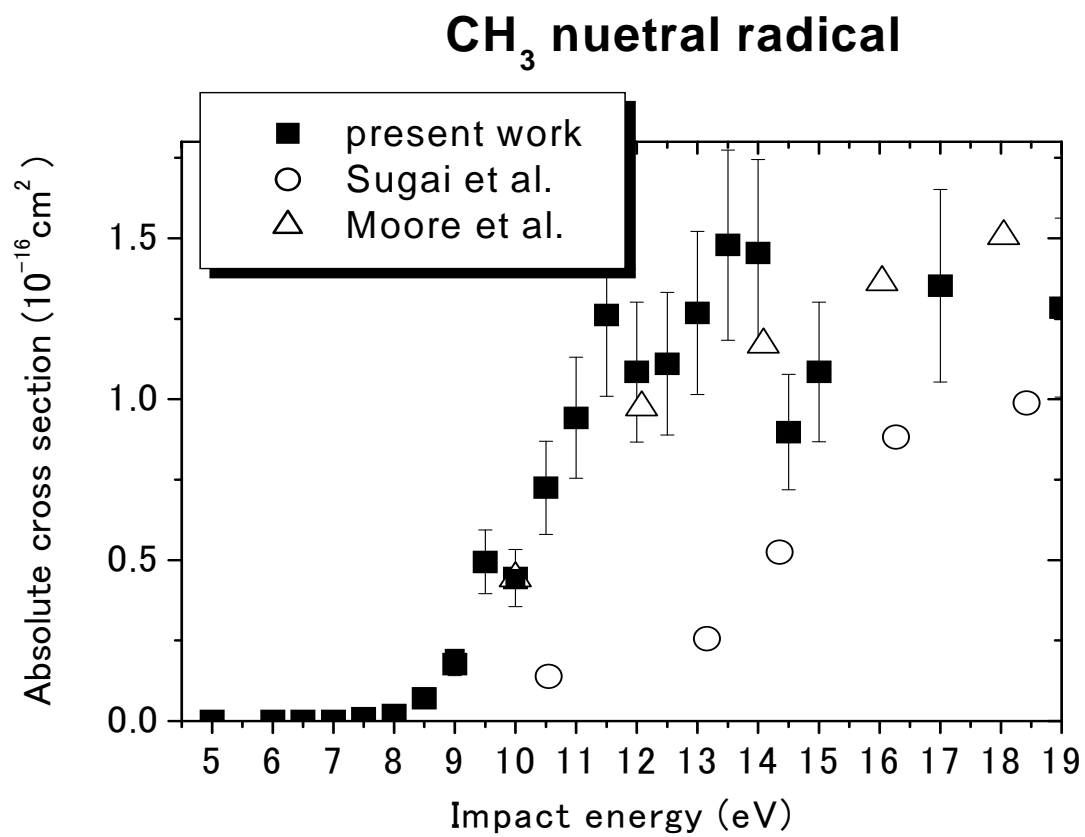


**Table 1. Ionization thresholds**

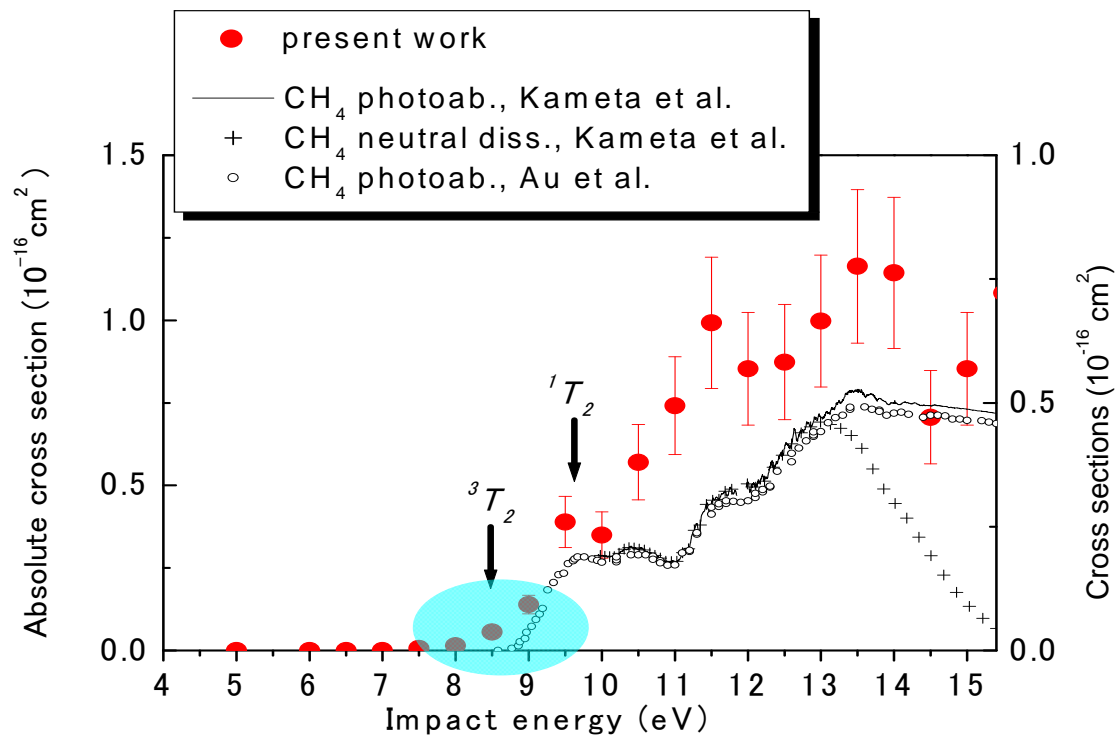
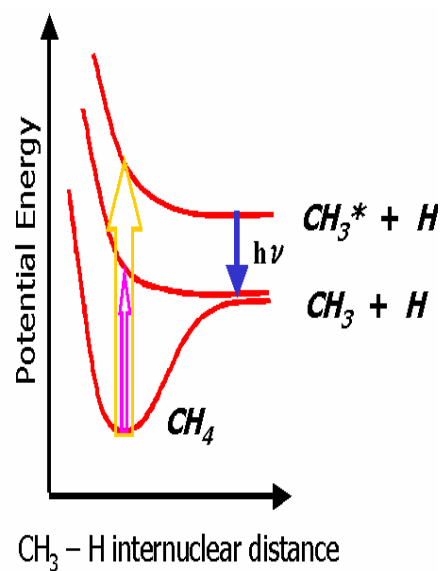
Parent neutral	CH <sub>4</sub> <sup>+</sup>	CH <sub>3</sub> <sup>+</sup>	CH <sub>2</sub> <sup>+</sup>	CH <sup>+</sup>	C <sup>+</sup>
CH <sub>4</sub>	12.6	14.3	15.1	22.2	25
CH <sub>3</sub>		9.8	15.1	17.7	25
CH <sub>2</sub>			10.3	17.4	20.2
CH				13.0	20.3
C					16.8



# CH<sub>3</sub>ラジカルデータの比較



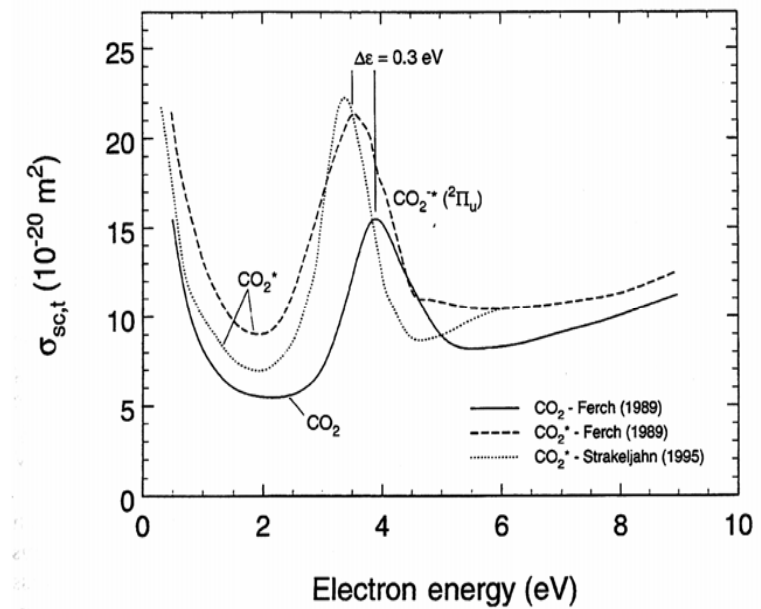
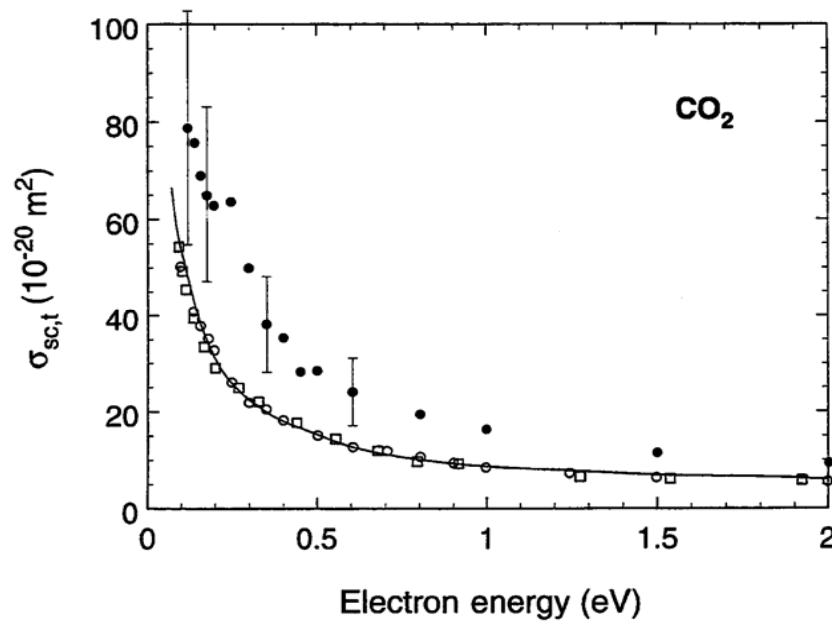
# 光学吸収スペクトルとの比較



K. Kameta, N. Kouchi, M. Ukai, Y. Hatano  
J. Electron Spectrosc. Relat. Phenom. **123**, 225 (2002)

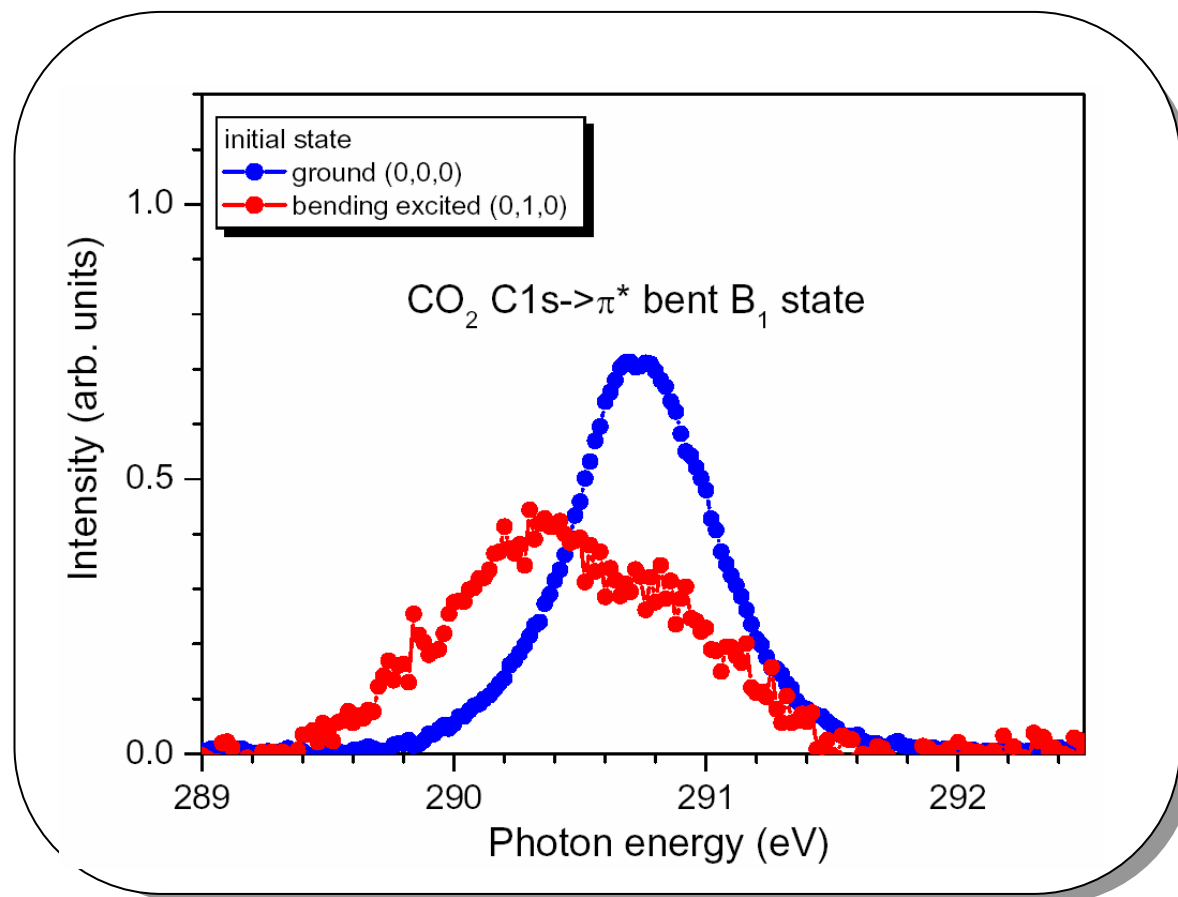
# 振動励起分子の電子衝突実験

## hot CO<sub>2</sub> by electron collision



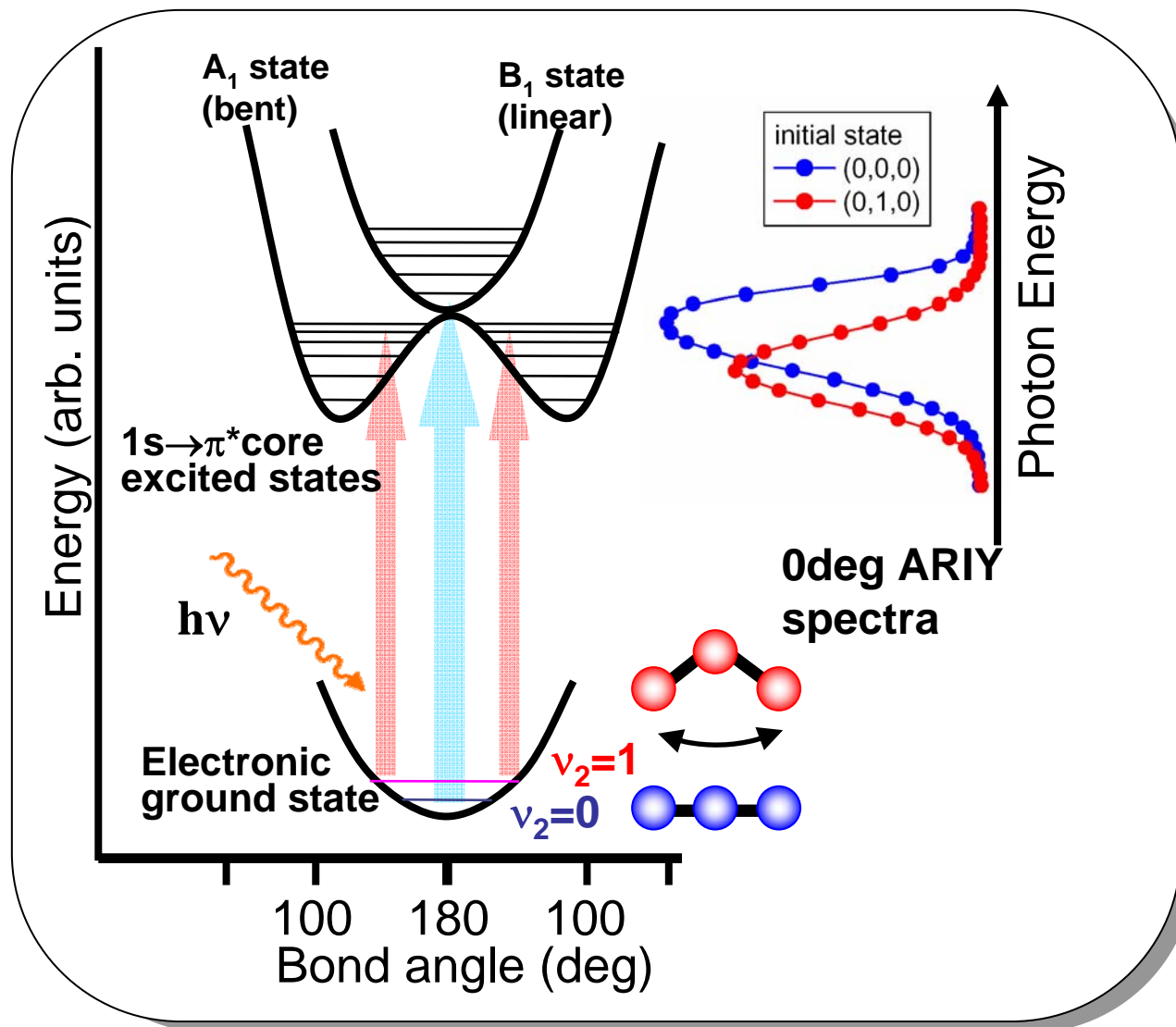
# hot-CO<sub>2</sub> の角度分解全イオン収量スペクトル

*C1s- $\pi$  resonance by inner shell ionization*



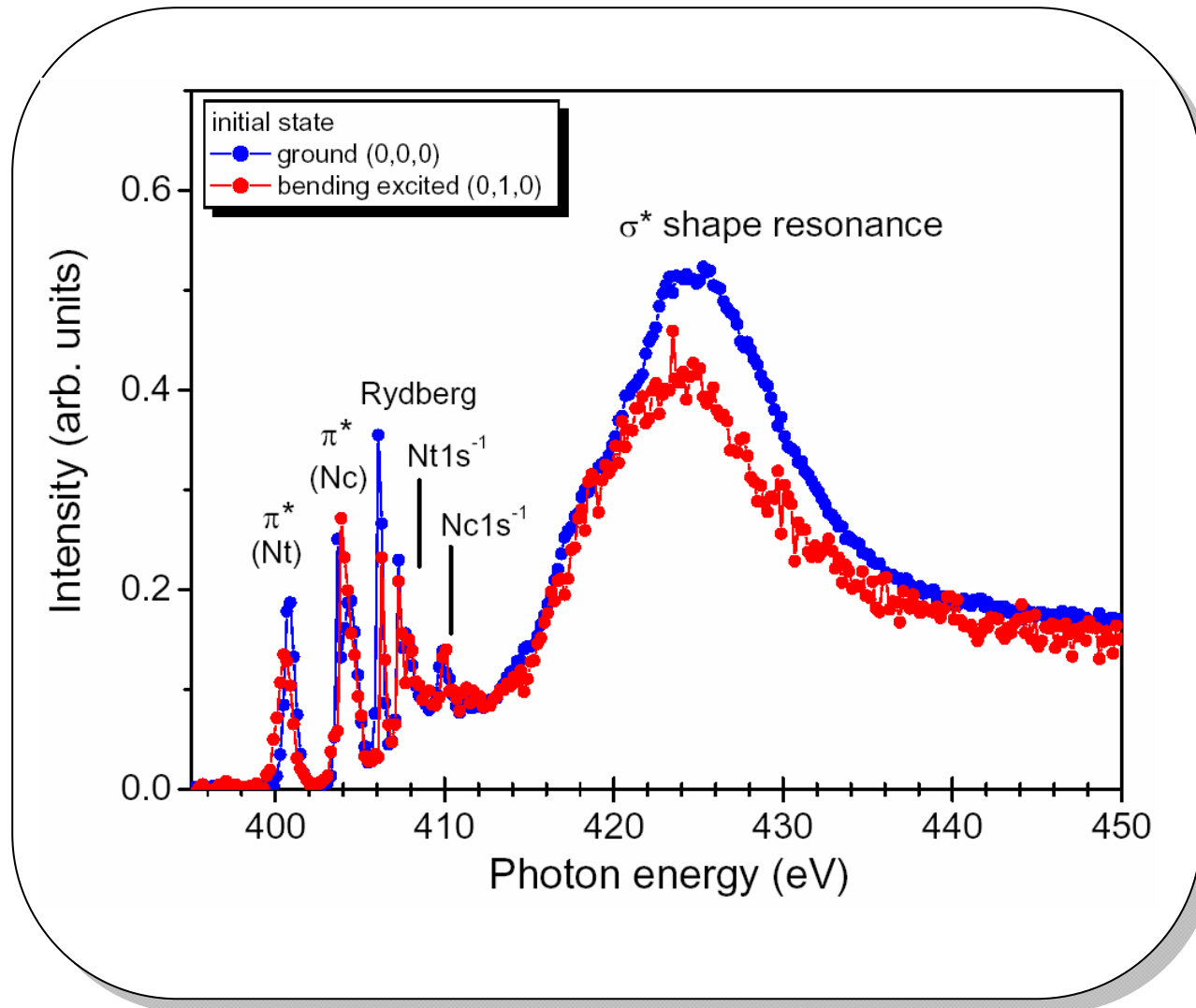
# 放射光実験 : hot Molecules

## CO<sub>2</sub>: Molecular Properties



# hot-N<sub>2</sub>O の角度分解全イオン収量スペクトル

σ\*shape resonance in the continuum region



# 最近の電子衝突実験の傾向

*Two ways on fundamental and applied aspects*

Ultra-low impact energy collision

Very high resolution spectroscopy

*Electron-driven processes and the applications*

Bio-molecular targets

Device- processing plasma

Nuclear-fusion technology (ITER)

# レーザー光電子放出法

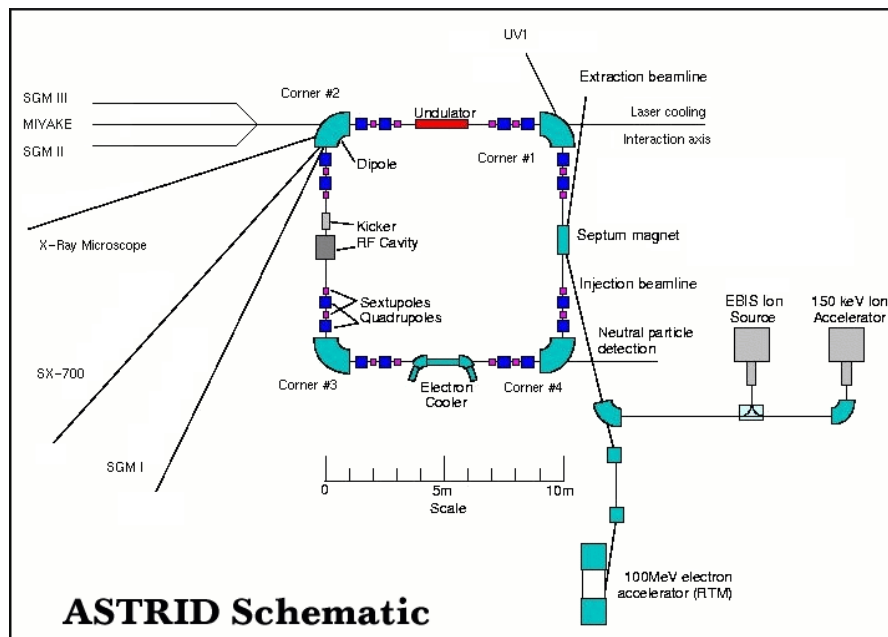
## ASTRID SGM 2

### Undulator beamline

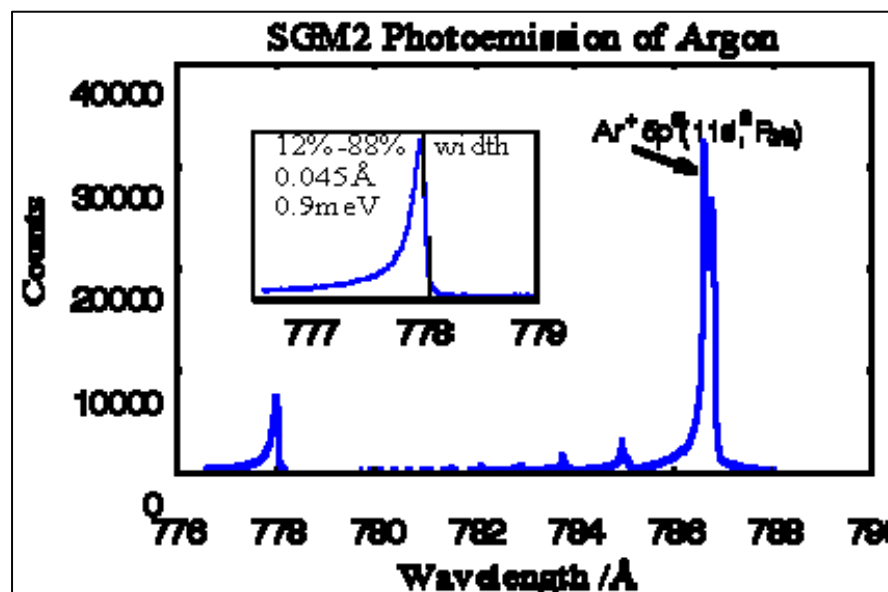
$$E = 12 - 40 \text{ eV}$$

$$E/\Delta E = 10000 - 20000$$

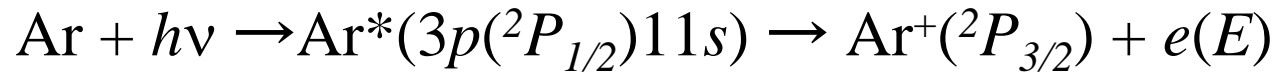
$$\text{Flux } 2 \times 10^{11} \text{ photons/sec}$$



ASTRID Schematic



# 超低エネルギー電子による全断面積測定装置



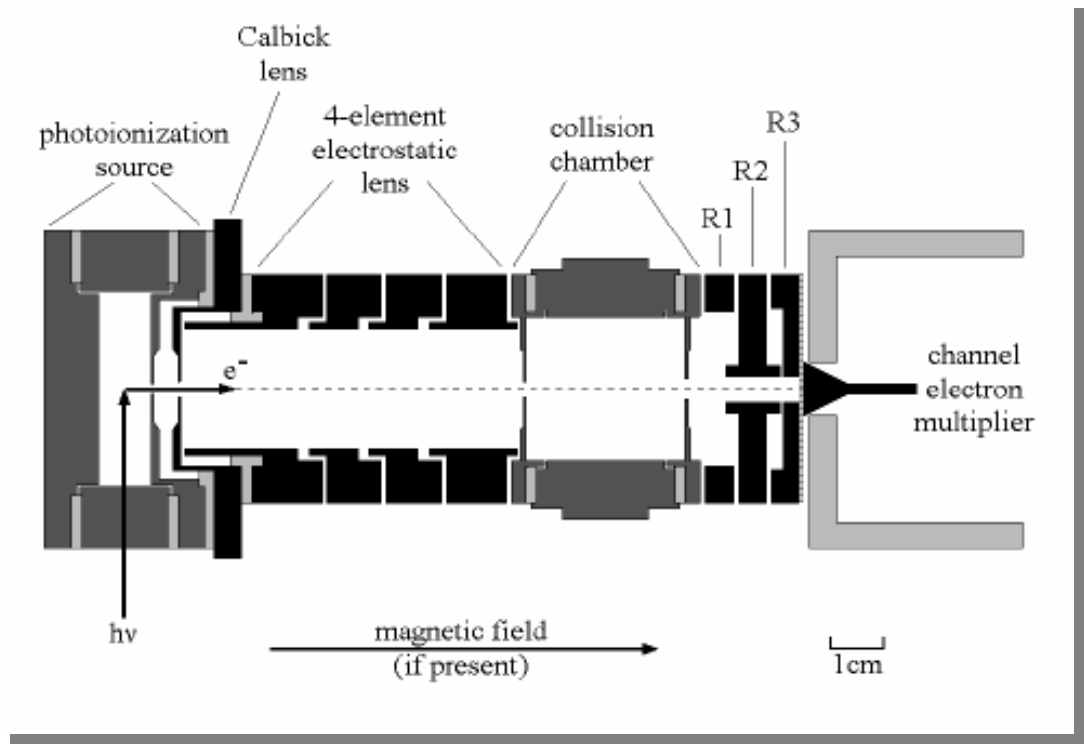
$$h\nu = 78.65 \text{ nm}$$

$$\Delta h\nu = 0.75 \text{ meV}$$

$$\tau = 6 \text{ meV}$$

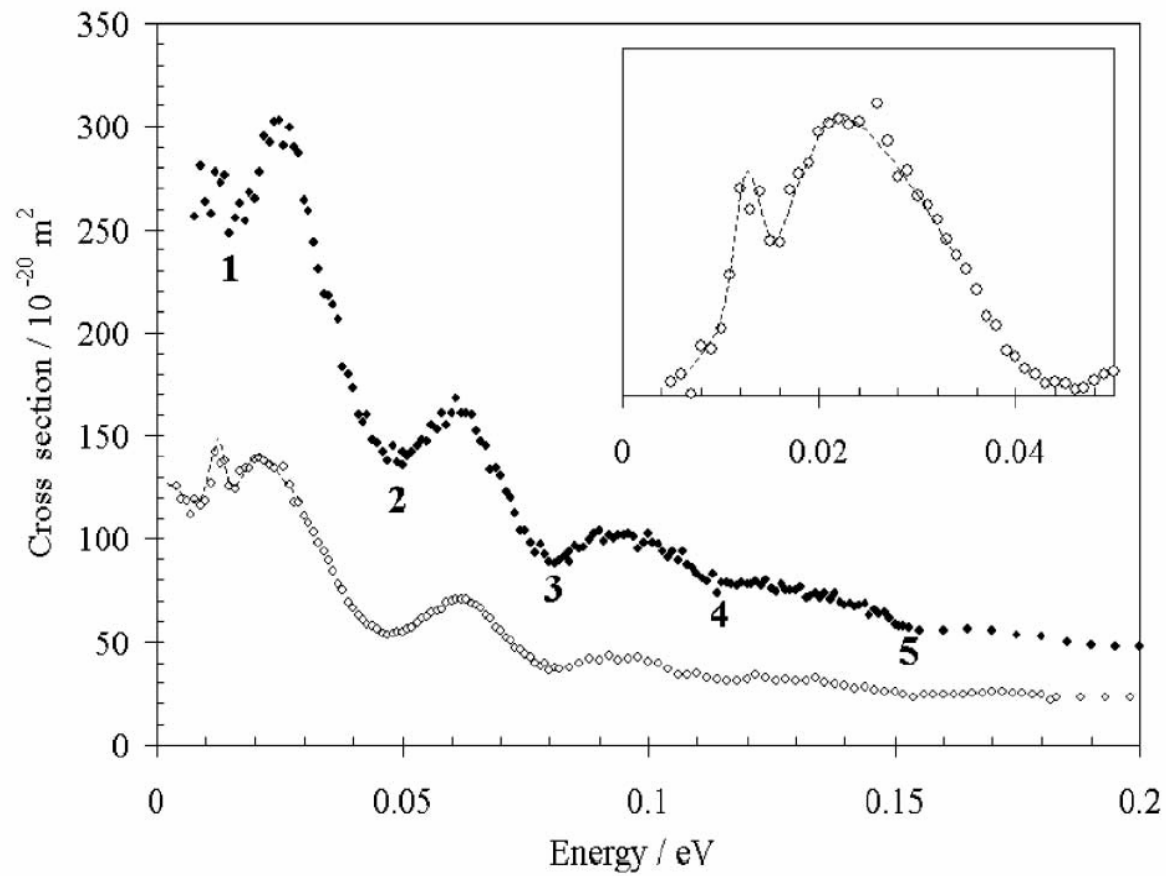
$$10 \text{ meV} < E < 2 \text{ eV}$$

$$\Delta E \sim 1.0 \text{ meV}$$



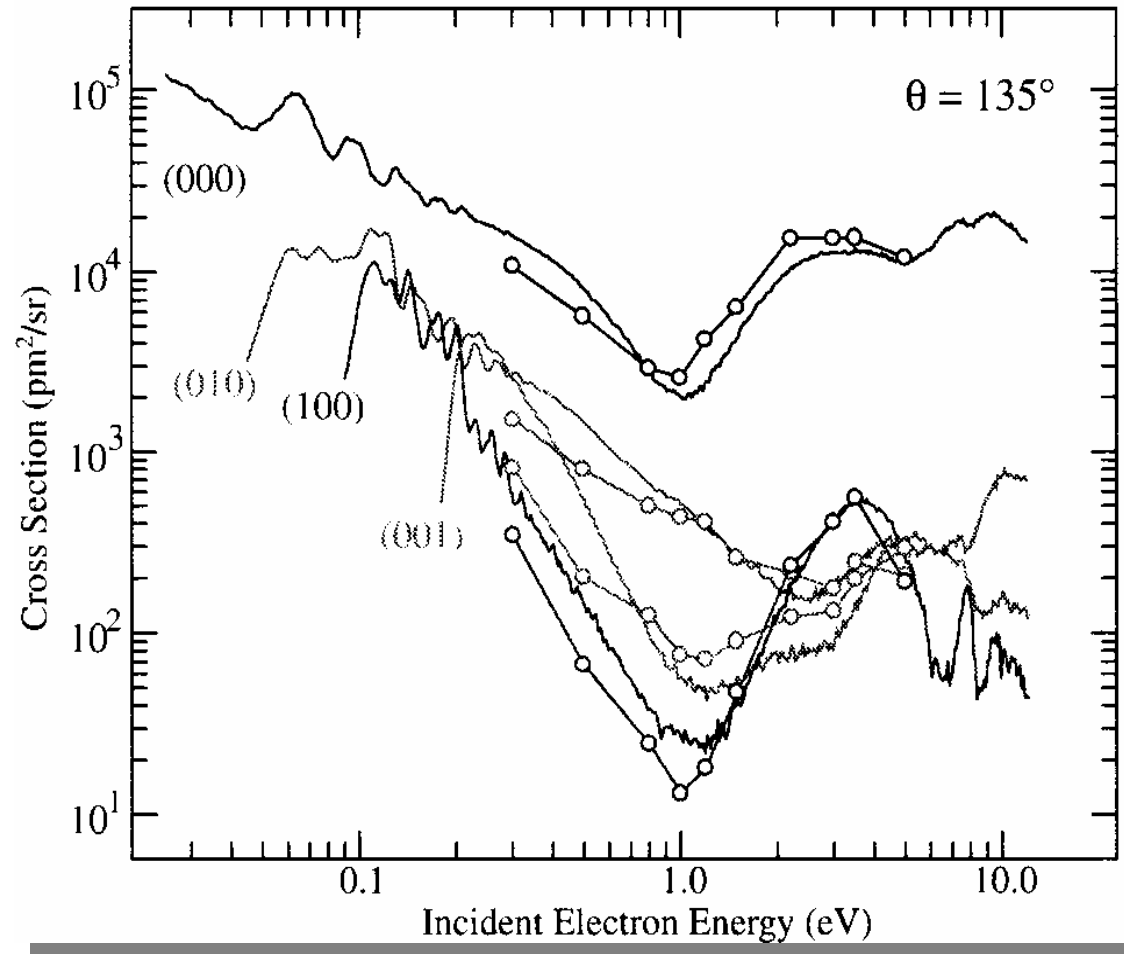
R. J. Gully *et al.*, *J. Phys.* **B** 31 (1998) 2735

# CS<sub>2</sub>分子の全段面積と共鳴構造

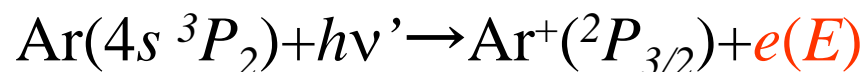


# クロスビーム法の最近のデータとの比較

CS<sub>2</sub>



# レーザーによる高分解光電子放出法

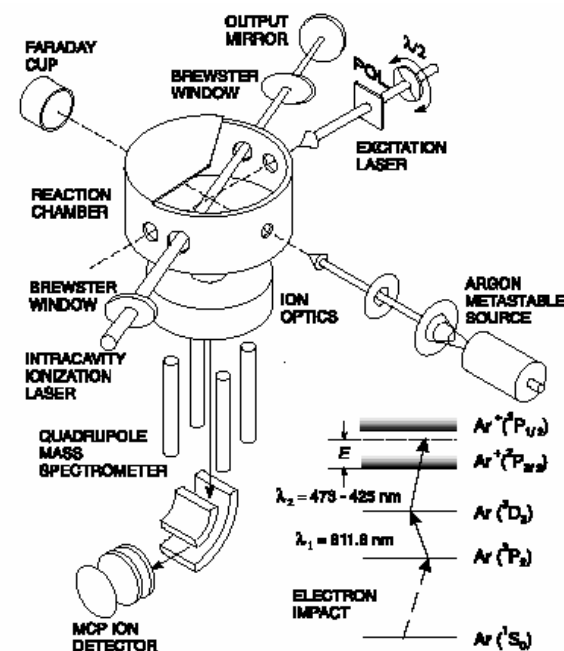


$$\Delta h\nu' = 0.05 \text{ or } 0.15 \text{ meV}$$

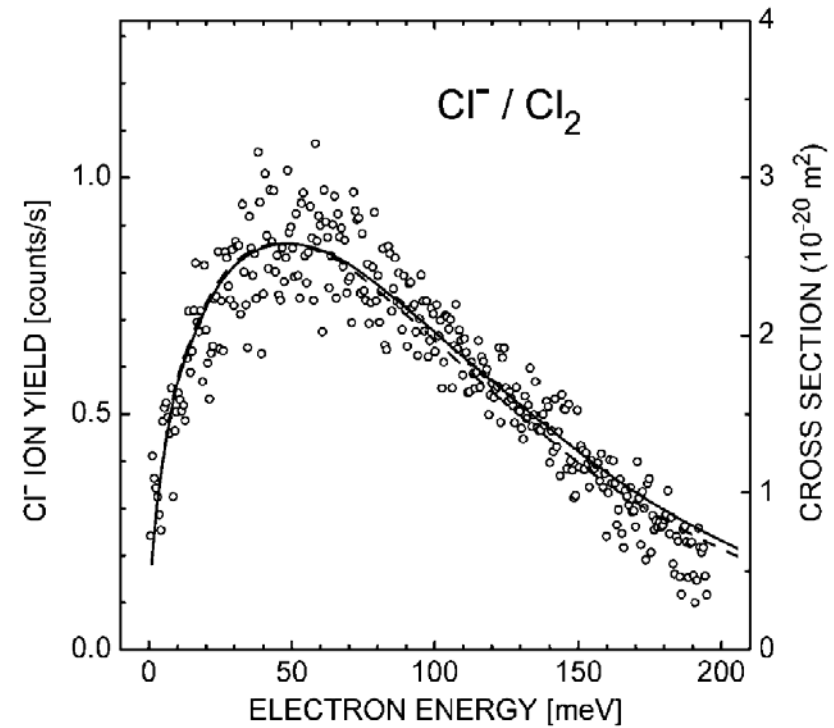
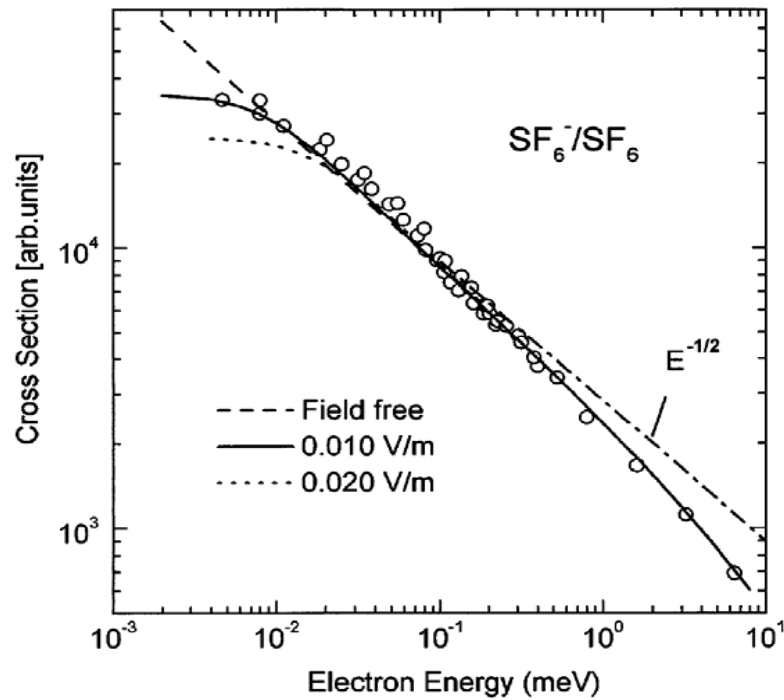
$$0 < E < 230 \text{ meV}$$

$$\Delta E \sim \Delta h\nu' + 0.06\sqrt{E} \quad (\because \text{Doppler})$$

## 電子付着過程

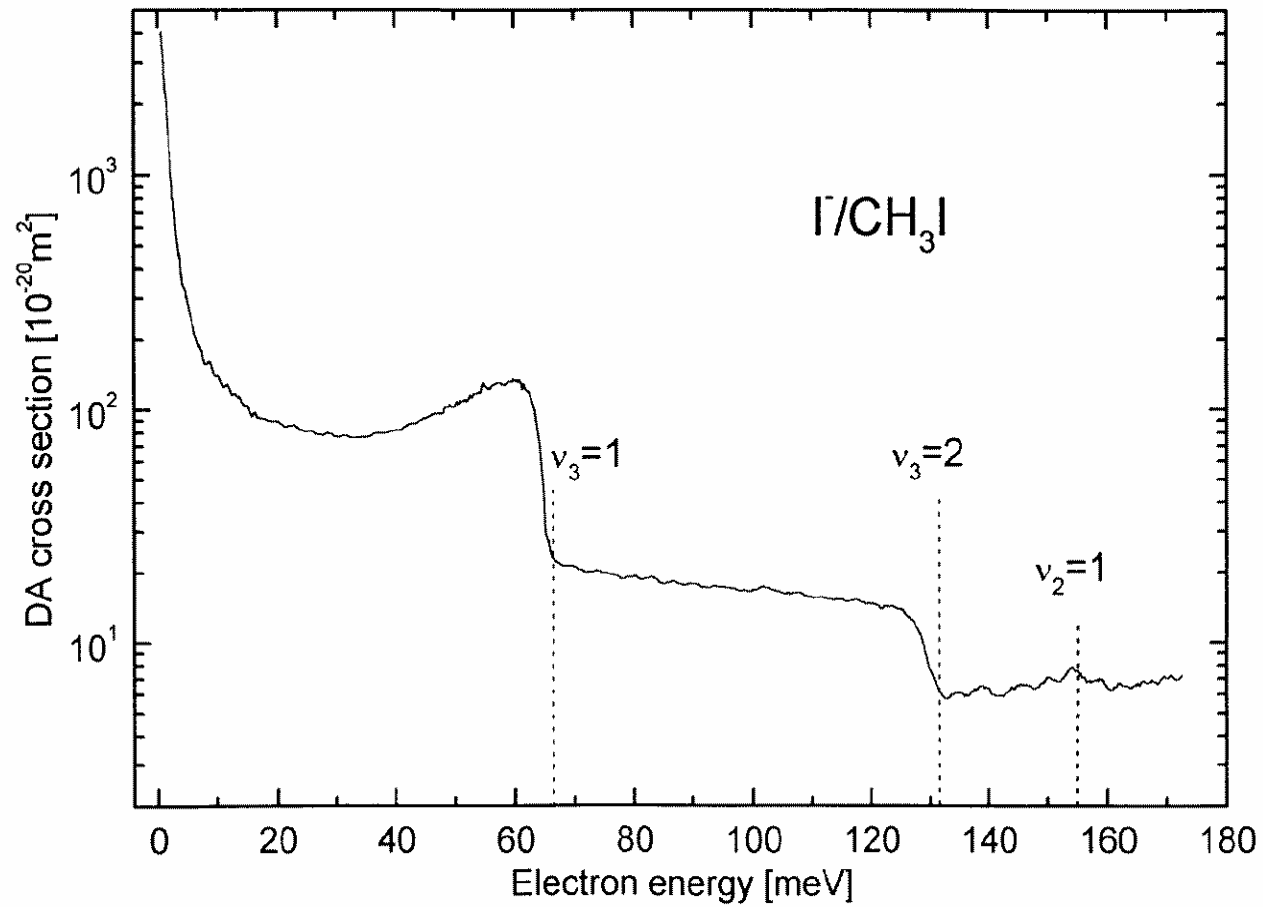


# 超低エネルギー電子付着

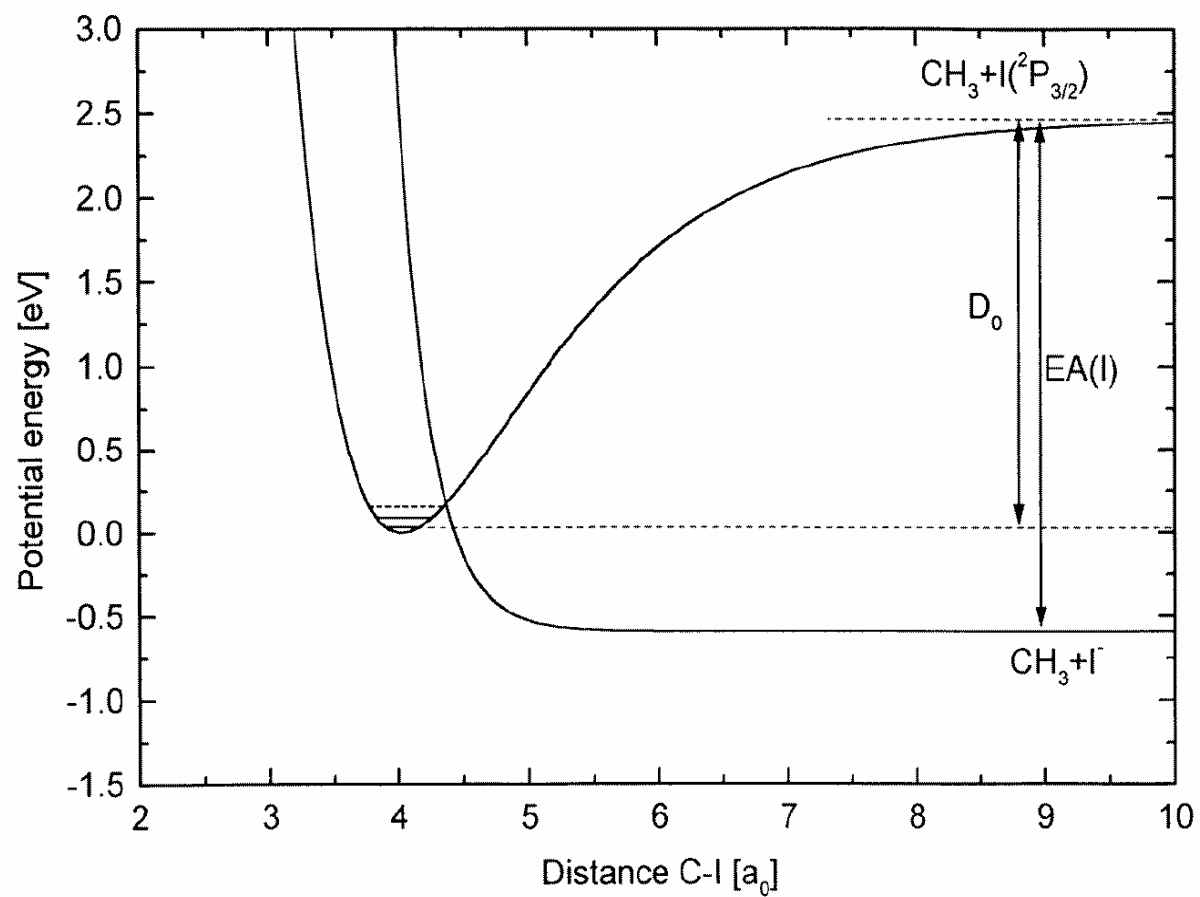


$$\sigma \propto (k^{l+(1/2)})^2 \propto E^{l+(1/2)} \quad (\text{Wigner threshold law})$$

# 分子の振動励起とFeschbach 共鳴



# 連続状態と束縛状態のカップリング



# 超低エネルギー電子の付着過程

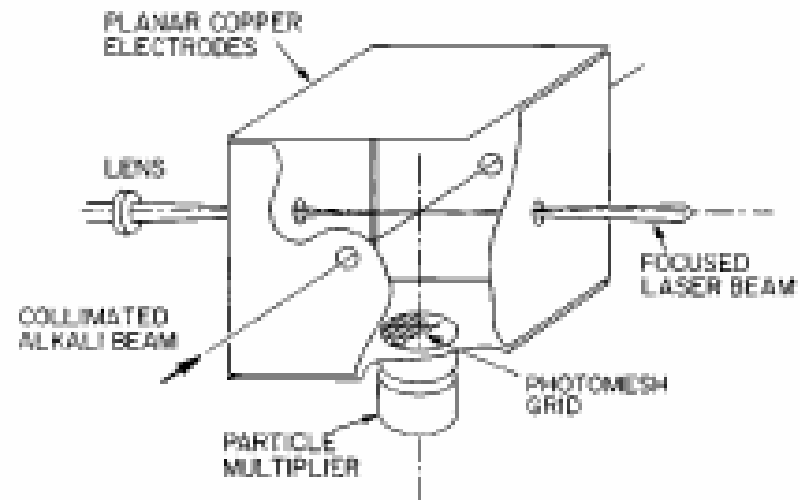
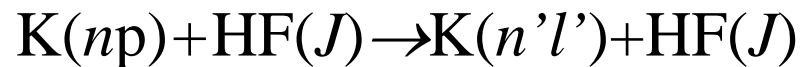
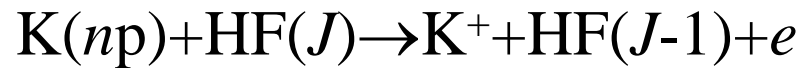
## 高リドベルグ原子状態を用いた方法 - リドベルグ状態にある原子の特性

主量子数	$n = 1$	$n = 10$	$n = 100$	$n = 1000$
ボア一半径 cm	$5.3 \times 10^{-9}$	$5.3 \times 10^{-7}$	$5.3 \times 10^{-5}$	$5.3 \times 10^{-3}$
結合エネルギー eV	13.6	0.136	$1.36 \times 10^{-3}$	$13.6 \times 10^{-6}$
軌道周期 s	$1.5 \times 10^{-16}$	$1.5 \times 10^{-13}$	$1.5 \times 10^{-10}$	$1.5 \times 10^{-7}$
電離エネルギー閾値 $V \text{ cm}^{-1}$	$3.2 \times 10^8$	$3.2 \times 10^4$	3.2	$3.2 \times 10^{-4}$

# 高ドベルグ原子を用いた電子付着

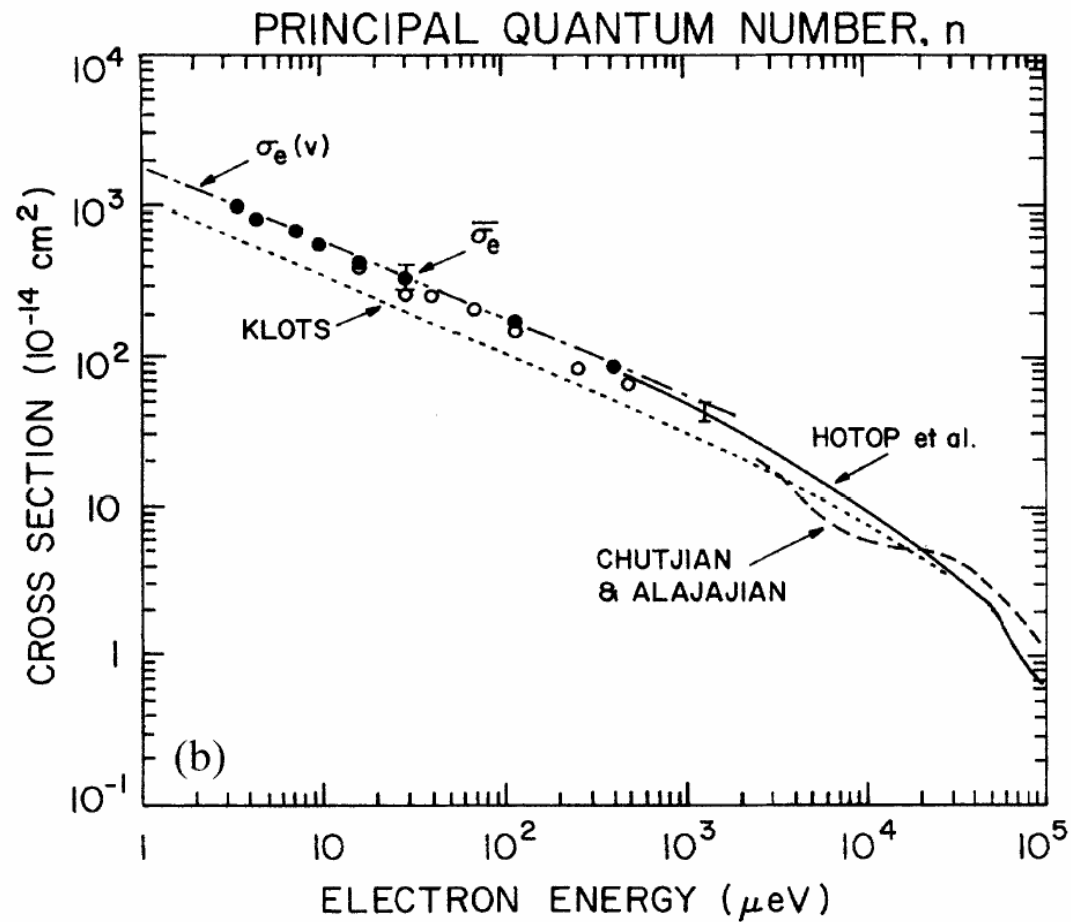
– Attachment and inelastic cross section

◆ Destruction rate constant of high  $n$  atom



S. B. Hill *et al.*, Phys. Rev. A **53** (1996) 3348

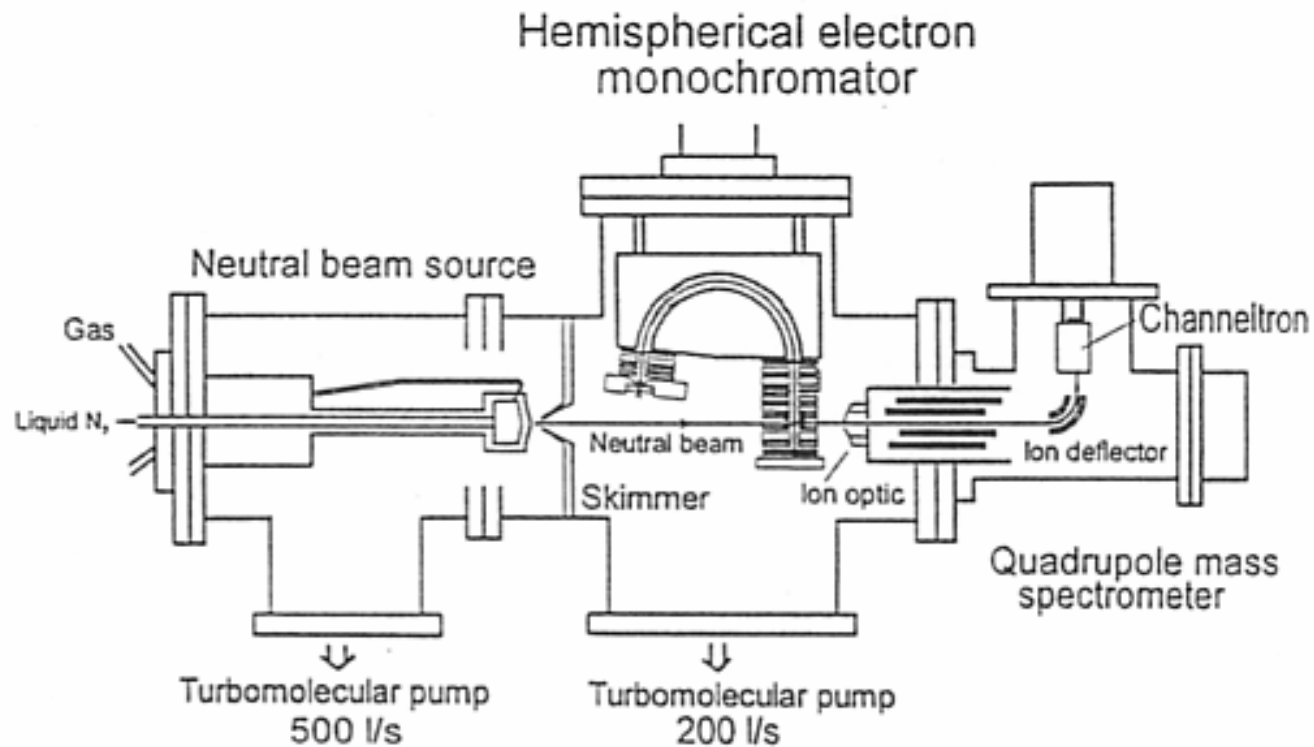
# 高ドベリグ電子付着過程



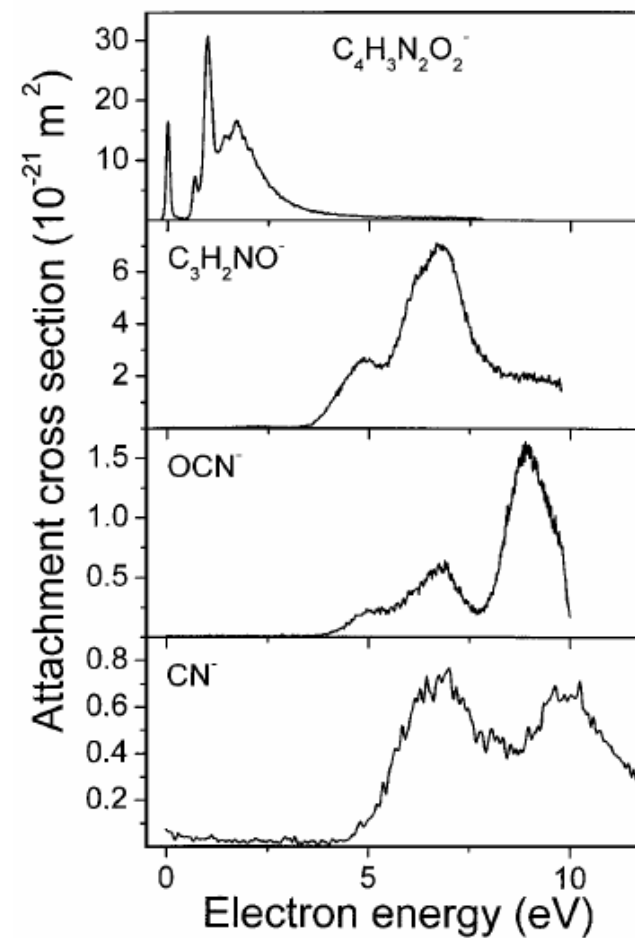
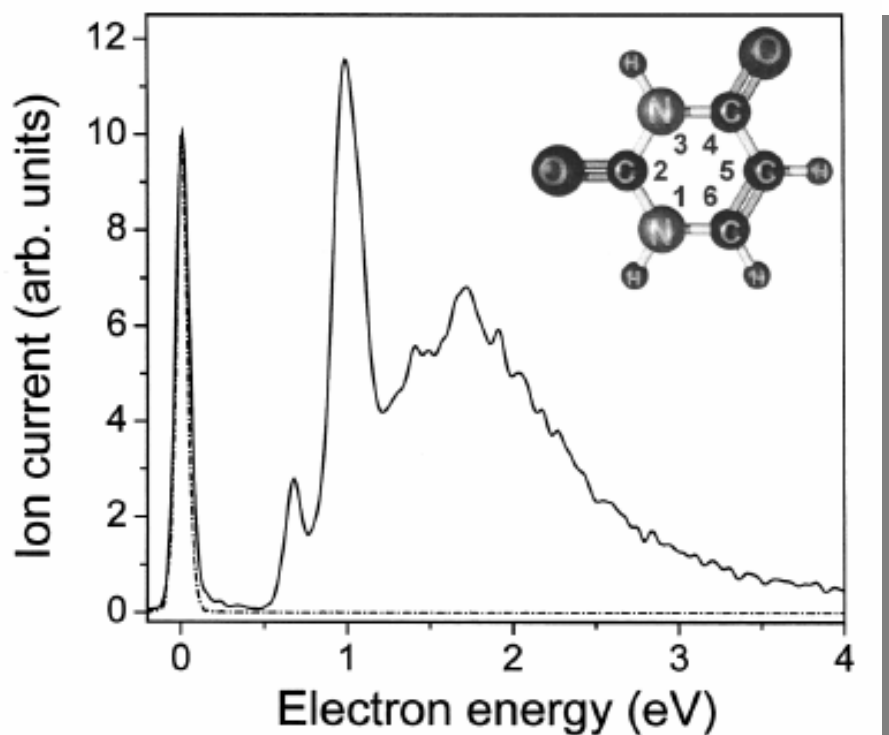
# 生体分子と電子の相互作用

## Electron Attachment to Uracil

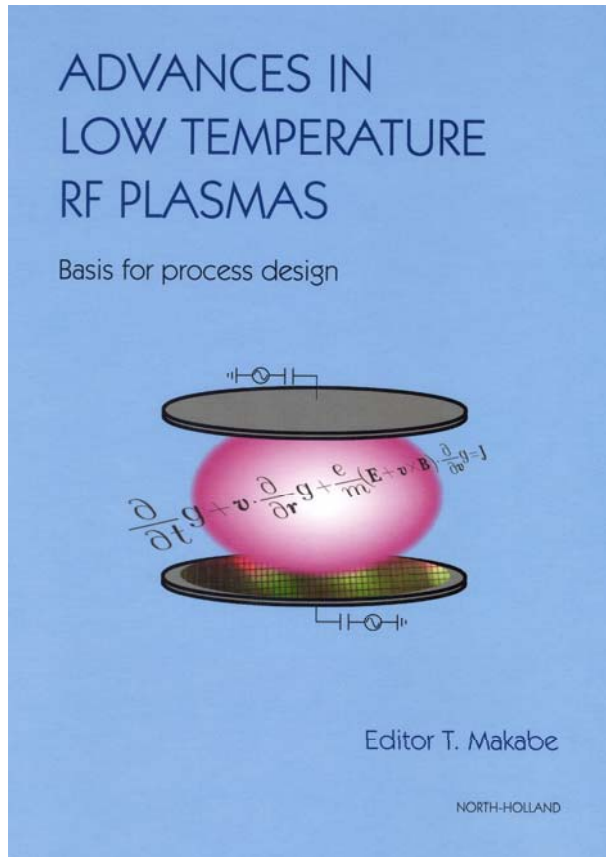
T. D. Märk's group (Innsbruck)



# 分子結合の選択的切断



# プラズマのモデリングと原子・分子データベース



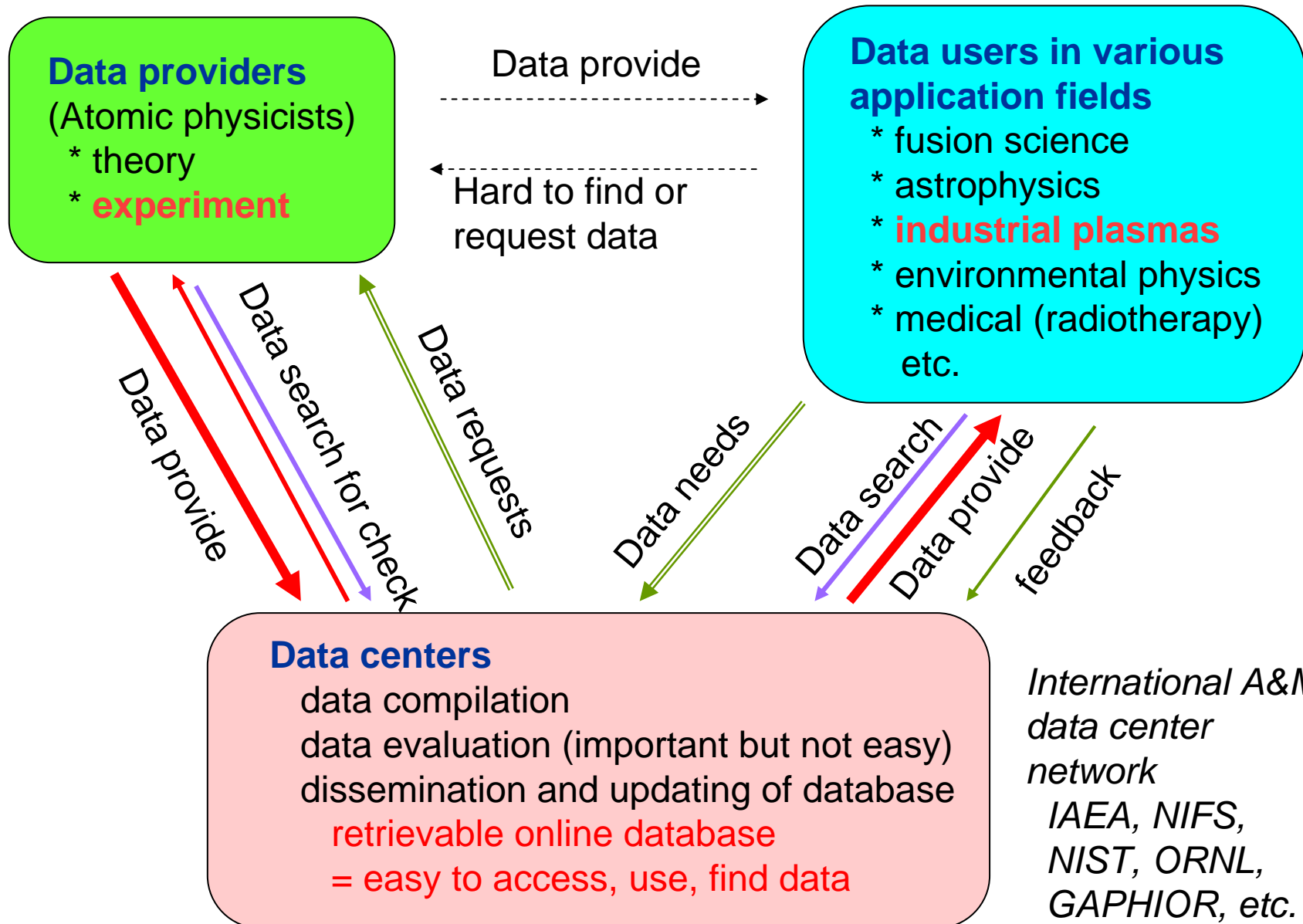
Governing Equation System in Plasma Reactor

Database	Governing Equation		Source
Collision/Reaction Processes	Boltzmann Eq.	Maxwell's Eq.	
<b>Gas-phase</b> $C + A$ $A^+ + B^-$ $A + AB$	<b>Conservation of Particles</b> <i>electrons neutrals</i> <i>p,n-ions (radicals)</i>	<b>Poisson's Eq.</b> <i>n-E field</i>	Voltage $V(t)$
<b>Interface (Surface)</b> $Y(\epsilon_j) \quad \Phi_w \quad K_r$	<b>Momentum Relaxation</b> <i>electrons p,n-ions</i> <i>ejected-particles</i>	<b>Faraday's Law</b> <i>induced B,E fields</i>	Current $I(t)$
<b>Solid-phase</b> $\Phi_B \quad \epsilon$	<b>Energy Relaxation</b> <i>electrons</i>	<b>Ampere's Law</b> <i>J-induced B field</i>	Antenna
	<b>Navier-Stokes Eq.</b> <i>gas flow</i>		Feed Gas
	<b>Schrödinger Eq.</b> <i>(Quantum effect / Tunnel)</i>		
	<b>Boundary Conditions (Reactor wall, wafer)</b>		

from T. Makabe

# データベースサービスの系統図

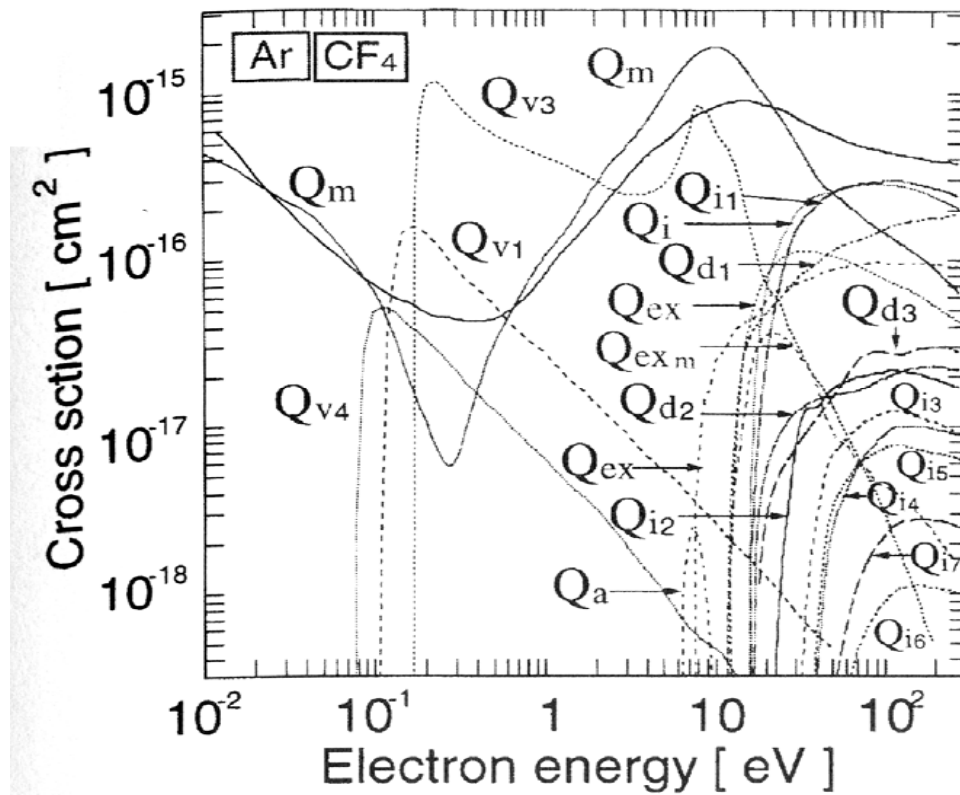
*assessed data on electron collision cross sections*



# 電子衝突励起断面積の評価

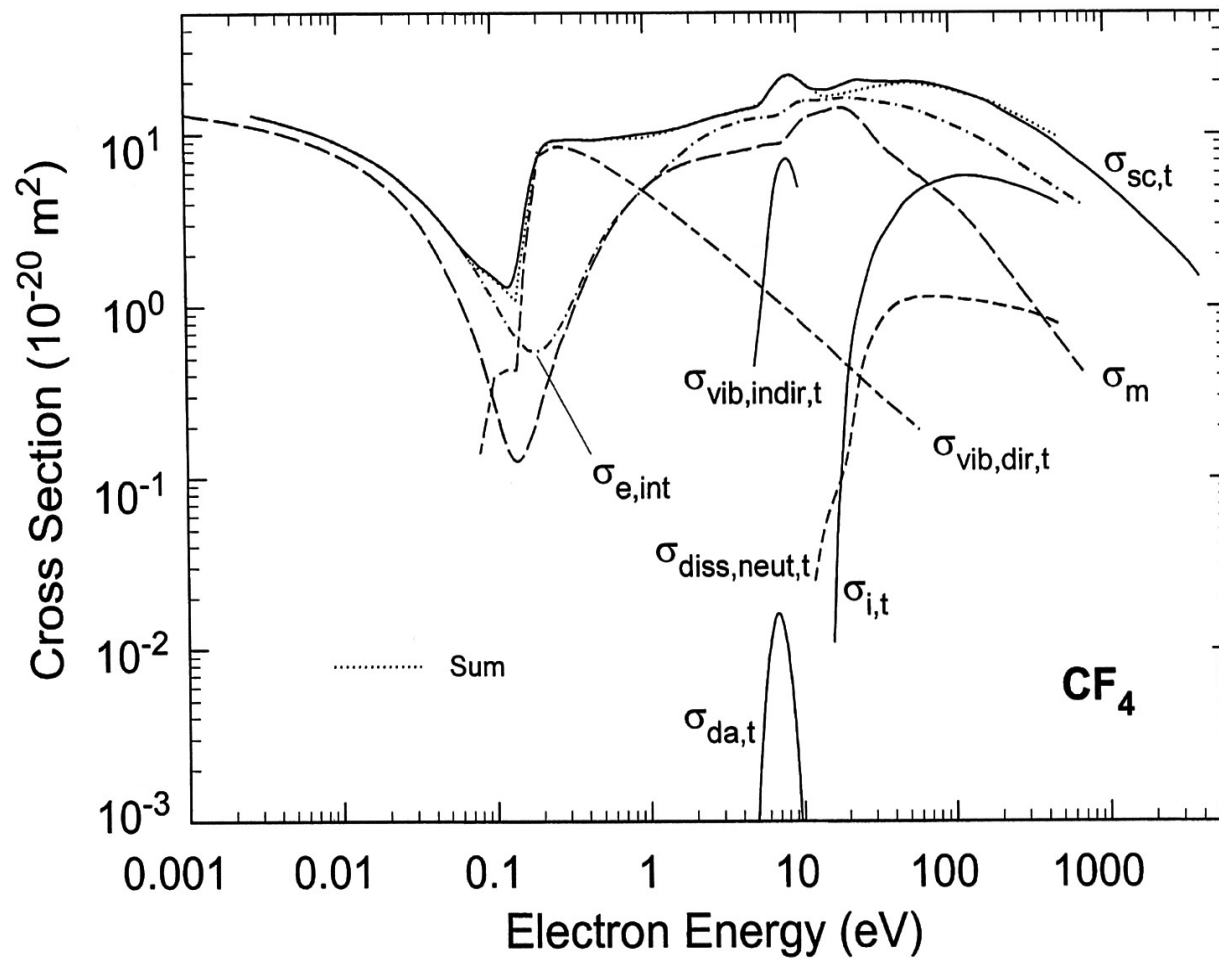
- Data centers traditionally perform the following tasks
  - Compilation of bibliographies and numerical data
  - Evaluation of numerical data Deduction of unavailable data
  - Identification of gaps in databases
  - Dissemination and updating of database
- Value of accurate reliable experimental data
  - Use in models
  - Fundamental understanding
  - Guide for computations

# CF<sub>4</sub>の電子衝突励起断面積セット



From Makabe

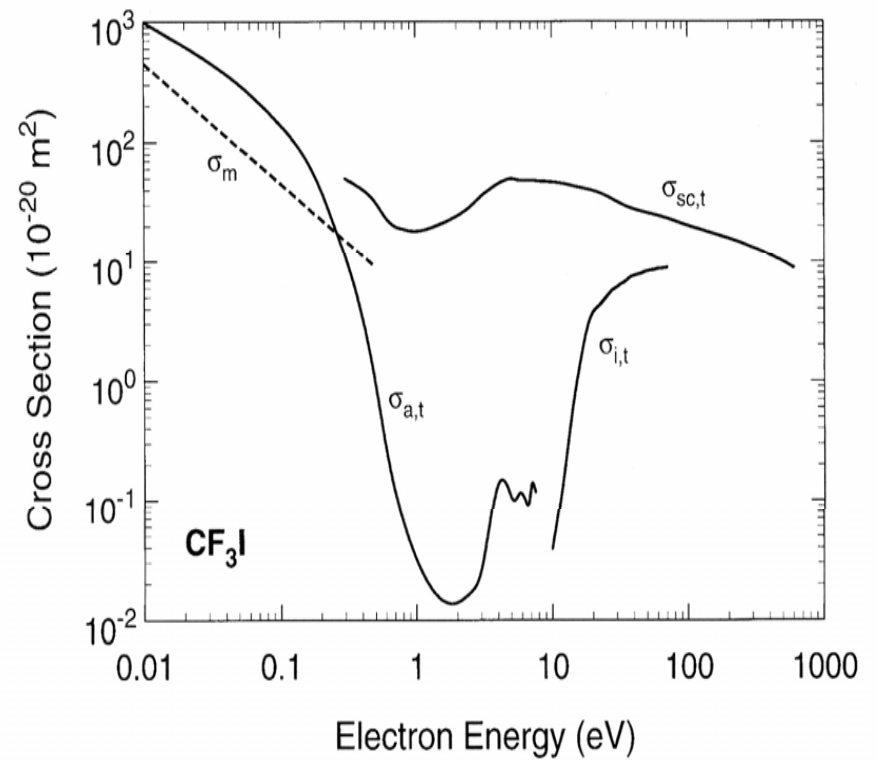
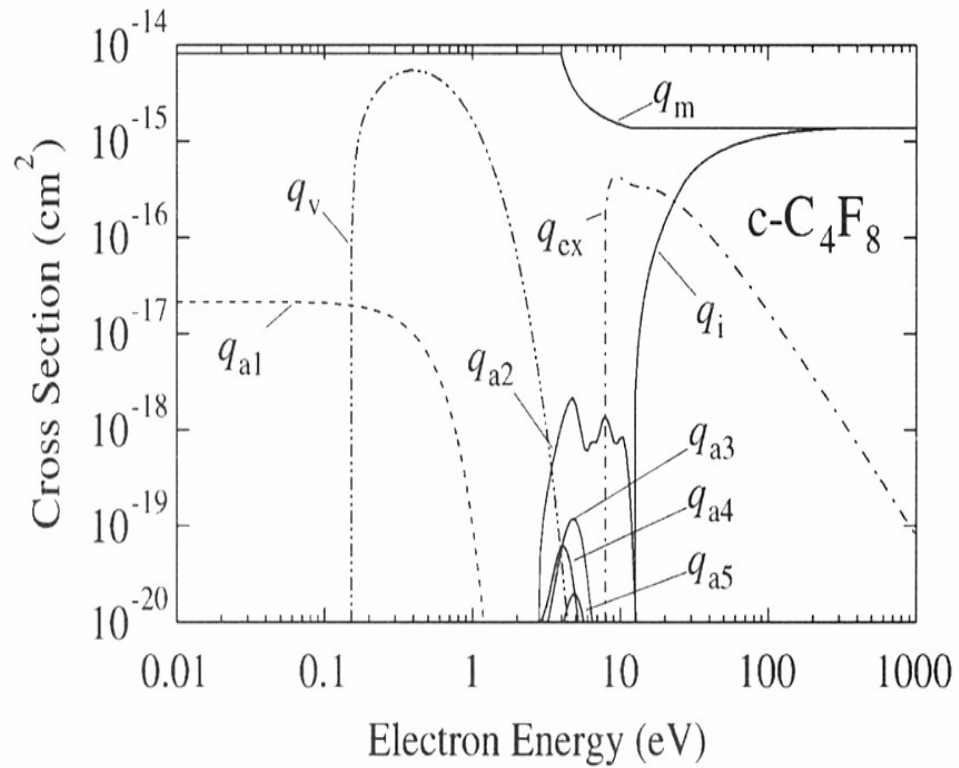
## CF<sub>4</sub>の電子衝突励起断面積セット



From NIST

# "Poor" Dataset

***C<sub>2</sub>F<sub>4</sub> None!!***



# まとめ

EELS:

Resonant Vibrational Excitation :  $\text{CF}_3\text{I}$   $\text{COF}_2$

Dissociation via Electronic Excitation :  $\text{CF}_3\text{I}$   $\text{COF}_2$

the relation between resonance and negative ion formation  
the low-lying channel for the neutral dissociation

QMSS:

Radical Detection:  $\text{CH}_3$  ( $X = 3\sim 0$ ) from  $\text{CH}_4$

SR experiments:

Excited (Hot) Molecular Target:

vibrationally excited  $\text{CO}_2$ ,  $\text{N}_2\text{O}$

***Low energy electron collisions and excited molecules!***

# Collaboration

## International

Chugnam National University ( Prof. Cho S. Korea)

Australian National University (Prof. Buckman AU)

Flinders University of Southern Australia (Prof. Brunger AU)

The Open University (Prof. Mason UK)

NIST (Dr.Kim USA)

## Domestic

Kyushu University (Prof. Kimura, Collaboration Theoretical)

NIFS (Prof. Kato under the Japan-Korea CUP program)

JAERI (Dr. Kubo under the Fusion Plasma Project in Japan)

Tohoku University(Prof. Ueda, SR experiment at Spring-8)

RIKEN (Prof. Yamazaki, Highly Charged Ion Research)

**This work has been supported by IAEA, MEXT, ARC, and CUP.**

## **Light and a shadow (in AMOS)**

**The Quantum Optics won the 2005 Nobel Prize at the occasion of the 100<sup>th</sup> anniversary of the photoelectron effect proposed by A. Einstein**

**But,**

**Electron collision is still the leading role of a shadow in Atomic, Molecular, and Optical Sciences (AMOS)**

**The traditional field but always something new !**